

ЭХОКАРДИОГРАФИЯ

от М.К. Рыбаковой



УДК 616–073.43 (035)
ББК 53.6 (54.101)
Р 93

Авторы:

Рыбакова Марина Константиновна	доктор медицинских наук, профессор кафедры ультразвуковой диагностики ГБОУ ДПО «Российская медицинская академия последипломного образования» Министерства здравоохранения Российской Федерации (база – ГКБ им. С.П. Боткина), Москва
Митьков Владимир Вячеславович	доктор медицинских наук, профессор, заведующий кафедрой ультразвуковой диагностики ГБОУ ДПО «Российская медицинская академия последипломного образования» Министерства здравоохранения Российской Федерации, Москва
Балдин Дмитрий Геннадьевич	врач-паталогоанатом высшей квалификационной категории ГКБ им. С.П. Боткина ДЗ г. Москвы, ГКБ №15 им. О.М. Филатова ДЗ г. Москвы

Рыбакова М.К., Митьков В.В., Балдин Д.Г.
Р93 Эхокардиография от М.К. Рыбаковой : с приложением DVD-ROM «Эхокардиография от М.К. Рыбаковой». – М.: Издательский дом Видар-М, 2016. – 600 с., ил. + 1 электрон. опт. диск (DVD-ROM).

ISBN 978-5-88429-227-7

Данное издание представляет собой переработанный, видоизмененный и принципиально новый учебник, в котором отражены все современные технологии, применяемые в эхокардиографии, а также все основные разделы современной кардиологии с позиции эхокардиографии.

Особенность издания – попытка объединить и сравнить результаты эхокардиографического исследования сердца и паталогоанатомический материал по всем основным разделам.

Особый интерес представляют разделы, содержащие новые технологии исследования, такие как трех- и четырехмерная реконструкция сердца в реальном времени, тканевая допплерография. Большое внимание удалено также классическим разделам эхокардиографии – оценке легочной гипертензии, клапанных пороков сердца, ишемической болезни сердца и ее осложнений и т.д.

В книге представлены огромный иллюстративный материал, большое количество схем и рисунков, приведены алгоритмы тактики проведения исследования и диагностики по всем разделам эхокардиографии.

Исключительный интерес для специалистов представляет DVD-ROM с подборкой видеоклипов по всем основным разделам эхокардиографии, включающих редкие случаи диагностики.

Книга помогает разрешить спорные и злободневные вопросы эхокардиографии, позволяет ориентироваться в расчетах и измерениях, содержит необходимую справочную информацию.

Книга написана сотрудниками кафедры ультразвуковой диагностики ГБОУ ДПО «Российская медицинская академия последипломного образования» Министерства здравоохранения Российской Федерации (база – ГКБ им. С.П. Боткина, Москва).

Издание предназначено для специалистов эхокардиографии, врачей ультразвуковой и функциональной диагностики, кардиологов и терапевтов.

**УДК 616–073.43 (035)
ББК 53.6 (54.101)**

ISBN 978-5-88429-227-7

© М.К. Рыбакова, В.В. Митьков, Д.Г. Балдин,

2016

© ООО «Издательский дом Видар-М»,

оформление, 2016

Содержание

Список обозначений на иллюстрациях	19
Введение	21
СПИСОК РЕКОМЕНДУЕМОЙ ЛИТЕРАТУРЫ	32
Глава 1. Нормальная анатомия и физиология сердца	33
НОРМАЛЬНАЯ АНАТОМИЯ СРЕДОСТЕНИЯ И СЕРДЦА	35
Строение грудной клетки	35
Центральное средостение	
Переднее средостение	
Верхнее средостение	
Строение плевры	36
Строение перикарда	36
Строение сердца человека	37
Строение левых камер сердца	
Строение левого предсердия / Строение фиброзного каркаса сердца / Строение митрального клапана /	
Строение левого желудочка / Строение аортального клапана / Строение аорты	
Строение правых камер сердца	
Строение правого предсердия / Строение триkuspidального клапана / Строение правого желудочка /	
Строение клапана легочной артерии / Строение легочной артерии	
Кровоснабжение сердца	46
Иннервация сердца	47
НОРМАЛЬНАЯ ФИЗИОЛОГИЯ СЕРДЦА	49
СПИСОК РЕКОМЕНДУЕМОЙ ЛИТЕРАТУРЫ	50
Глава 2. Исследование сердца в норме. В-режим. М-режим.	
Стандартные эхокардиографические измерения и нормативы	51
СТАНДАРТНЫЕ ЭХОКАРДИОГРАФИЧЕСКИЕ ДОСТУПЫ И ПОЗИЦИИ	54
Паастернальный доступ	54
Паастернальная позиция, длинная ось левого желудочка	
Паастернальная позиция, длинная ось правого желудочка	
Паастернальная позиция, короткая ось на уровне конца створок аортального клапана	
Паастернальная позиция, длинная ось ствола легочной артерии	
Паастернальная позиция, короткая ось на уровне конца створок митрального клапана	
Паастернальная позиция, короткая ось на уровне концов папиллярных мышц	
Апикальный доступ	57
Апикальная четырехкамерная позиция	
Апикальная пятикамерная позиция	
Апикальная двухкамерная позиция	
Длинная ось левого желудочка	
Субкостальный доступ	61
Длинная ось нижней полой вены	
Длинная ось брюшного отдела аорты	
Короткая ось брюшного отдела аорты и нижней полой вены	
Субкостальная четырехкамерная позиция	
Субкостальная пятикамерная позиция	
Субкостальная позиция, короткая ось на уровне концов створок аортального клапана	
Субкостальная позиция, короткая ось на уровне концов створок митрального клапана	
Субкостальная позиция, короткая ось на уровне концов папиллярных мышц	
Супрастернальный доступ	63
Супрастернальная позиция, длинная ось дуги аорты	
Супрастернальная позиция, короткая ось дуги аорты	
Исследование плевральных полостей	65
М-РЕЖИМ	67

СТАНДАРТНЫЕ ЭХОКАРДИОГРАФИЧЕСКИЕ ИЗМЕРЕНИЯ И НОРМАТИВЫ	69
СПИСОК РЕКОМЕНДУЕМОЙ ЛИТЕРАТУРЫ.....	75
Глава 3. Допплерэхокардиография в норме. Стандартные измерения и расчеты.....	77
ИМПУЛЬСНОВОЛНОВОЙ ДОППЛЕР (Pulsed Wave – PW).....	79
Трансмитральный диастолический поток.....	80
Кровоток в выносящем тракте левого желудочка	81
Транстриkuspidальный диастолический поток	82
Кровоток в выносящем тракте правого желудочка	82
Кровоток в восходящем отделе аорты	83
Кровоток в грудном нисходящем отделе аорты	83
Кровоток в легочных венах	83
Кровоток в печеночных венах	85
РЕЖИМ ВЫСОКОЙ ЧАСТОТЫ ПОВТОРЕНИЯ ИМПУЛЬСОВ.....	85
НЕПРЕРЫВНОВОЛНОВОЙ ДОППЛЕР	85
ЦВЕТОВОЙ ДОППЛЕР.....	86
ЦВЕТОВОЙ М-РЕЖИМ	89
ЭНЕРГЕТИЧЕСКИЙ ДОППЛЕР	89
СПИСОК РЕКОМЕНДУЕМОЙ ЛИТЕРАТУРЫ.....	89
Глава 4. Тканевое допплеровское исследование. Современные недопплеровские технологии оценки функции сердца.....	91
ТКАНЕВОЙ ИМПУЛЬСНОВОЛНОВОЙ ДОППЛЕР (Pulsed Wave Tissue Doppler Imaging – PW TDI).....	93
ТКАНЕВОЙ МИОКАРДИАЛЬНЫЙ ДОППЛЕР (Tissue Myocardial Doppler – TMD)	96
«КРИВОЙ», ИЛИ ИЗОГНУТЫЙ, ТКАНЕВОЙ ЦВЕТОВОЙ ДОППЛЕР (или C-Color)	96
ДОППЛЕР ОЦЕНКИ ДЕФОРМАЦИИ И СКОРОСТИ ДЕФОРМАЦИИ (Strain и Strain rate)	96
«КРИВОЙ», ИЛИ ИЗОГНУТЫЙ, РЕЖИМ ДЕФОРМАЦИИ (или C-Strain rate).....	97
ТКАНЕВОЙ СЛЕД (Tissue Tracking – TT)	97
РЕЖИМ ВЕКТОРНОГО СКОРОСТНОГО ИЗОБРАЖЕНИЯ, ИЛИ ВЕКТОРНОГО АНАЛИЗА ДВИЖЕНИЯ ЭНДОКАРДА (Vector Velocity Imaging – VVI).	99
РЕЖИМ ОТСЛЕЖИВАНИЯ ПЯТНА (или Speckle Tracking)	99
СПИСОК РЕКОМЕНДУЕМОЙ ЛИТЕРАТУРЫ.....	101
Глава 5. Трехмерная и четырехмерная эхокардиография. Клинические возможности метода	103
Возможности трехмерной эхокардиографии в клинической практике	106
Оценка систолической функции левого желудочка в реальном времени и анализ ее параметров с построением модели левого желудочка в объеме и количественной оценкой глобальной и локальной сократимости	
Детальная оценка состояния клапанов сердца при наличии порока с моделированием отверстия клапана	
Оценка состояния протезированного клапана или окклюдера	
Оценка врожденных пороков сердца	
Оценка объемных образований сердца и средостения, включая вегетации при инфекционном эндокардите	
Оценка больных с патологией перикарда и плевры	
Оценка отслойки интимы аорты	
Оценка больных с осложнениями ишемической болезни сердца	
3D-Strain – объемная оценка деформации ткани левого желудочка	
Оценка состояния миокарда	
Четырехмерная реконструкция сердца.....	111
СПИСОК РЕКОМЕНДУЕМОЙ ЛИТЕРАТУРЫ.....	118

Глава 6.	Малые аномалии развития сердца. Открытое овальное окно. Особенности эхокардиографического исследования у детей и подростков. Пролабирование клапанов сердца	119
	МАЛЫЕ АНОМАЛИИ РАЗВИТИЯ СЕРДЦА	121
	НОРМАЛЬНЫЕ АНАТОМИЧЕСКИЕ ОБРАЗОВАНИЯ, КОТОРЫЕ МОЖНО ПРИНЯТЬ ЗА ПАТОЛОГИЧЕСКИЕ	126
	ОСОБЕННОСТИ ЭХОКАРДИОГРАФИЧЕСКОГО ИССЛЕДОВАНИЯ У ДЕТЕЙ И ПОДРОСТКОВ.	129
	Возможные причины ошибок диагностики у детей и подростков во время эхокардиографического исследования	130
	Стандартные измерения у детей и подростков	131
	Причины функциональных шумов у детей	132
	ПРОЛАБИРОВАНИЕ КЛАПАНОВ СЕРДЦА	132
	Пролабирование створок митрального клапана	132
	Этиология патологического пролапса митрального клапана (Otto C., 1999)	
	Синдром пролабирования митрального клапана / Миксоматозная дегенерация створок клапана /	
	Вторичный пролапс митрального клапана	
	Оценка степени пролабирования митрального клапана по степени провисания створок (Мухарлямов Н.М., 1981)	
	Пролабирование створок аортального клапана	135
	Этиология патологического пролапса аортального клапана	
	Пролабирование створок трикуспидального клапана	137
	Этиология пролапса трикуспидального клапана	
	Пролабирование створок клапана легочной артерии	137
	Этиология патологического пролапса клапана легочной артерии	
	СПИСОК РЕКОМЕНДУЕМОЙ ЛИТЕРАТУРЫ	138
Глава 7.	Митральный клапан	139
	МИТРАЛЬНАЯ РЕГУРГИТАЦИЯ	141
	Этиология	142
	Врожденная митральная регургитация	
	Приобретенная митральная регургитация	
	Воспалительное поражение створок митрального клапана / Дегенеративные изменения створок / Нарушение функции подклапанных структур и фиброзного кольца / Другие причины	
	Классификация митральной регургитации	145
	Остро возникшая митральная регургитация	
	Хроническая митральная регургитация	
	Гемодинамика при митральной регургитации	145
	Технология проведения исследования	146
	B- и M-режимы	
	Импульсноволновой допплер	
	Непрерывноволновой допплер	
	Цветовой допплер	
	Критерии оценки степени митральной регургитации по процентному соотношению площади струи и площади левого предсердия (IV степени регургитации) / Критерии оценки степени митральной регургитации по процентному соотношению площади струи и площади левого предсердия (III степени регургитации). Классификация Х. Фейгенбаума / Критерии оценки степени митральной регургитации по площади струи / Критерии оценки степени митральной регургитации по процентному соотношению площади струи и площади левого предсердия (III степени регургитации). Классификация Американской и Европейской ассоциаций эхокардиографии / Критерии оценки степени митральной регургитации по радиусу проксимальной части струи регургитации (PISA) / Критерии оценки степени митральной регургитации по ширине минимальной части сходящегося потока (vea contracta)	
	Способы оценки степени митральной регургитации	149
	Расчет скорости нарастания давления в левом желудочке в начале систолы (непрерывноволновой допплер)	
	Расчет фракции регургирующего объема с помощью уравнения непрерывности потока	
	Расчет регургирующего объема, площади и объема проксимальной струи регургитации, эффективного регургирующего объема	
	Расчет площади проксимальной струи регургитации (PISA) / Расчет объема проксимальной струи регургитации / Расчет эффективного регургирующего объема / Расчет регургирующего ударного объема	
	Корреляция между степенью митральной регургитации и эффективной регургирующей площадью	
	Измерение минимальной части сходящегося потока (vea contracta) и оценка значимости митральной регургитации по этому показателю	
	Расчет давления в левом предсердии по потоку митральной регургитации	
	Систолическая вибрация створок митрального клапана	

Рекомендации Европейской ассоциации эхокардиографии в оценке степени тяжести митральной регургитации

Оценка степени митральной регургитации по цветовому допплеру (соотношение площади струи к площади предсердия) по Х. Фейгенбауму:

ДИФФЕРЕНЦИАЛЬНАЯ ДИАГНОСТИКА ПРИ НАЛИЧИИ ПАТОЛОГИЧЕСКОЙ МИТРАЛЬНОЙ РЕГУРГИТАЦИИ (БОЛЕЕ I СТЕПЕНИ)	155
МИТРАЛЬНЫЙ СТЕНОЗ	159
Этиология	159
<i>Врожденный митральный стеноз</i>	
<i>Приобретенный митральный стеноз</i>	
Гемодинамика при митральном стенозе	160
Технология проведения исследования	161
<i>B- и M-режимы</i>	
<i>Импульсноволновой допплер</i>	
<i>Непрерывноволновой допплер</i>	
<i>Цветовой допплер</i>	
Способы оценки степени митрального стеноза	164
<i>Измерение диаметра трансмитрального диастолического потока в режиме цветового допплера</i>	
<i>Критерии оценки степени митрального стеноза в зависимости от площади митрального отверстия</i>	
<i>Оценка степени значимости митрального стеноза по максимальному и среднему градиенту давления</i>	
<i>Расчет площади митрального отверстия</i>	
<i>Оценка состояния митрального клапана в режиме трехмерной эхокардиографии</i>	
ДИФФЕРЕНЦИАЛЬНАЯ ДИАГНОСТИКА ПРИ УСКОРЕНИИ КРОВОТОКА НА МИТРАЛЬНОМ КЛАПАНЕ В ДИАСТОЛУ	170
СПИСОК РЕКОМЕНДУЕМОЙ ЛИТЕРАТУРЫ	171
Глава 8. Аортальный клапан	173
АОРТАЛЬНАЯ РЕГУРГИТАЦИЯ	175
Этиология	175
<i>Врожденная патология аортального клапана</i>	
<i>Приобретенная патология аортального клапана</i>	
Классификация аортальной регургитации	177
<i>Остро возникшая аортальная регургитация</i>	
<i>Хроническая аортальная регургитация</i>	
Гемодинамика при аортальной регургитации	177
Технология проведения исследования	178
<i>B- и M-режимы</i>	
<i>Эхокардиографические признаки аортальной регургитации</i>	
<i>Импульсноволновой допплер</i>	
<i>Оценка степени аортальной регургитации с использованием импульсноволнового допплера</i>	
<i>Непрерывноволновой допплер</i>	
<i>Расчет времени полуспада градиента давления аортальной регургитации / Расчет конечного диастолического давления в левом желудочке по потоку аортальной регургитации</i>	
<i>Цветовой допплер</i>	
<i>Способы оценки степени аортальной регургитации</i>	185
<i>Расчет фракции регургтирующего объема с помощью уравнения непрерывности потока</i>	
<i>Расчет фракции регургтирующего объема аортальной регургитации по диастолической и систолической фазам потока в грудной нисходящей аорте</i>	
<i>Трудности оценки значимости аортальной регургитации</i>	
<i>Рекомендации Европейской ассоциации эхокардиографии в оценке степени тяжести аортальной регургитации</i>	
ДИФФЕРЕНЦИАЛЬНАЯ ДИАГНОСТИКА ПРИ НАЛИЧИИ ПАТОЛОГИЧЕСКОЙ АОРТАЛЬНОЙ РЕГУРГИТАЦИИ (ОТ I СТЕПЕНИ)	186
АОРТАЛЬНЫЙ СТЕНОЗ	190
Этиология	190
<i>Врожденный аортальный стеноз</i>	
<i>Приобретенный аортальный стеноз</i>	
Гемодинамика при аортальном стенозе	191
Технология проведения исследования	191
<i>B- и M-режимы</i>	
<i>Импульсноволновой допплер</i>	
<i>Непрерывноволновой допплер</i>	
<i>Цветовой допплер</i>	

Способы оценки аортального стеноза	194
Гемодинамическая оценка аортального стеноза	
Расчет площади аортального отверстия и оценка степени аортального стеноза	
ДИФФЕРЕНЦИАЛЬНАЯ ДИАГНОСТИКА ПРИ УСКОРЕНИИ КРОВОТОКА	
НА АОРТАЛЬНОМ КЛАПАНЕ В СИСТОЛУ И В АОРТЕ	196
СПИСОК РЕКОМЕНДУЕМОЙ ЛИТЕРАТУРЫ	198
Глава 9. Триkuspidальный клапан	199
ТРИКУСПИДАЛЬНАЯ РЕГУРГИТАЦИЯ	201
Этиология	201
Брошенная триkuspidальная регургитация	
Приобретенная триkuspidальная регургитация	
Гемодинамика при триkuspidальной регургитации	203
Классификация триkuspidальной регургитации	203
Остро возникшая триkuspidальная регургитация	
Хроническая триkuspidальная регургитация	
Технология проведения исследования	204
B- и M-режимы	
Импульсноволновой допплер	
Непрерывноволновой допплер	
Цветовой допплер	
Способы оценки степени триkuspidальной регургитации	205
Рекомендации Европейской ассоциации эхокардиографии в оценке степени тяжести триkuspidальной регургитации	
ДИФФЕРЕНЦИАЛЬНАЯ ДИАГНОСТИКА ПРИ ПАТОЛОГИЧЕСКОЙ ТРИКУСПИДАЛЬНОЙ РЕГУРГИТАЦИИ (БОЛЕЕ II СТЕПЕНИ)	207
ТРИКУСПИДАЛЬНЫЙ СТЕНОЗ	211
Этиология	211
Брошенный триkuspidальный стеноз	
Приобретенный триkuspidальный стеноз	
Гемодинамика при триkuspidальном стенозе	212
Технология проведения исследования	212
B- и M-режимы	
Импульсноволновой допплер	
Непрерывноволновой допплер	
Цветовой допплер	
Критерии оценки степени триkuspidального стеноза	213
ДИФФЕРЕНЦИАЛЬНАЯ ДИАГНОСТИКА ПРИ УСКОРЕННОМ КРОВОТОКЕ НА ТРИКУСПИДАЛЬНОМ КЛАПАНЕ В ДИАСТОЛУ	213
СПИСОК РЕКОМЕНДУЕМОЙ ЛИТЕРАТУРЫ	213
Глава 10. Клапан легочной артерии	215
ЛЕГОЧНАЯ РЕГУРГИТАЦИЯ	217
Этиология	217
Брошенная легочная регургитация	
Приобретенная легочная регургитация	
Гемодинамика при легочной регургитации	217
Технология проведения исследования	217
B- и M-режимы	
Импульсноволновой допплер	
Непрерывноволновой допплер	
Цветовой допплер	
Классификация легочной регургитации	219
Остро возникшая легочная регургитация	
Хроническая легочная регургитация	
Способы оценки степени легочной регургитации	219
Рекомендации Европейской ассоциации эхокардиографии в оценке степени тяжести легочной регургитации	
ДИФФЕРЕНЦИАЛЬНАЯ ДИАГНОСТИКА ПРИ НАЛИЧИИ ПАТОЛОГИЧЕСКОЙ ЛЕГОЧНОЙ РЕГУРГИТАЦИИ (БОЛЕЕ II СТЕПЕНИ)	222
СТЕНОЗ КЛАПАНА ЛЕГОЧНОЙ АРТЕРИИ	222
Этиология	222
Брошенный стеноз клапана легочной артерии	

Приобретенный стеноз клапана легочной артерии	223
Гемодинамика при стенозе клапана легочной артерии	223
Технология проведения исследования	223
B- и M-режимы	
Импульсноволновой допплер	
Непрерывноволновой допплер	
Цветовой допплер	
Критерии оценки степени стеноза клапана легочной артерии.....	224
ДИФФЕРЕНЦИАЛЬНАЯ ДИАГНОСТИКА ПРИ НАЛИЧИИ УСКОРЕННОГО КРОВОТОКА НА КЛАПАНЕ ЛЕГОЧНОЙ АРТЕРИИ В СИСТОЛУ.....	224
СПИСОК РЕКОМЕНДУЕМОЙ ЛИТЕРАТУРЫ.....	225
Глава 11. Легочная гипертензия.....	227
ЭТИОЛОГИЯ ЛЕГОЧНОЙ ГИПЕРТЕНЗИИ.....	227
Собственно легочная гипертензия.....	227
Легочная гипертензия на фоне патологии левых камер сердца.....	227
Легочная гипертензия, связанная с легочной респираторной болезнью и/или гипоксией	227
Легочная гипертензия вследствие хронической тромботической и/или эмболической болезни	227
Смешанные формы.....	227
КЛАССИФИКАЦИЯ ЛЕГОЧНОЙ ГИПЕРТЕНЗИИ	230
Морфологическая классификация легочной гипертензии	230
Классификация легочной гипертензии	230
Первичная легочная гипертензия	
Вторичная легочная гипертензия	
ГЕМОДИНАМИКА ПРИ ЛЕГОЧНОЙ ГИПЕРТЕНЗИИ	230
ТЕХНОЛОГИЯ ПРОВЕДЕНИЯ ИССЛЕДОВАНИЯ. ПРИЗНАКИ ЛЕГОЧНОЙ ГИПЕРТЕНЗИИ.....	231
B- и M-режимы	231
Дилатация правых отделов сердца	
Характер движения межжелудочковой перегородкиИмпульсноволновой допплер	
Гипертрофия стенки правого желудочка	
Изменение характера движения задней створки клапана легочной артерии в M-режиме	
Среднесистолическое прикрытие задней створки легочного клапана	
Диаметр нижней полой вены и печеночной вены и их реакция на вдох	
Импульсноволновой допплер	233
Изменение формы потока в выносящем тракте правого желудочка и в легочной артерии	
Наличие патологической триkuspidальной и легочной регургитации	
Изменение формы кривой потока в печеночной вене	
Непрерывноволновой допплер	235
Интенсивный спектр потока триkuspidальной регургитации	
Высокая скорость потока триkuspidальной регургитации	
Смещение пика скорости потока триkuspidальной регургитации в первую половину систолы, V-образный поток и наличие зазубрин на времени замедления потока	
Цветовой допплер	236
СПОСОБЫ РАСЧЕТА ДАВЛЕНИЯ В ЛЕГОЧНОЙ АРТЕРИИ.....	236
Расчет среднего давления в легочной артерии по отношению времени ускорения потока в выносящем тракте правого желудочка к времени выброса (AT/ET)	236
Расчет интеграла линейной скорости (VTI) потока в выносящем тракте правого желудочка	236
Расчет среднего давления в легочной артерии по времени ускорения потока (AT) в выносящем тракте правого желудочка (формула Kitabatake, 1983)	237
Расчет $P_{\text{сред. ла}}$ по времени ускорения потока (AT) в выносящем тракте правого желудочка (формула Mahan, 1983)	237
Расчет среднего давления в легочной артерии по пиковому градиенту давления легочной регургитации (Masuyama, 1986)	237
Расчет максимального систолического давления в легочной артерии по потоку триkuspidальной регургитации	237
Расчет конечного диастолического давления в легочной артерии по потоку легочной регургитации	238
Расчет максимального систолического давления в легочной артерии при стенозе клапана легочной артерии	238

Расчет давления заклинивания в легочной артерии с помощью импульсноволнового и тканевого импульсноволнового допплера (Nagueh S.F., 1998)	239
СПОСОБЫ ОЦЕНКИ ДАВЛЕНИЯ В ПРАВОМ ПРЕДСЕРДИИ	239
Оценка давления в правом предсердии на основании степени дилатации нижней полой вены и ее реакции на вдох	239
Расчет давления в правом предсердии по импульсноволновому и тканевому импульсноволновому допплеру (Nageh M.F., 1999)	239
Эмпирическая оценка давления в правом предсердии по реверсии потока в печеночной вене в fazu предсердной систолы	240
ОЦЕНКА СТЕПЕНИ ЛЕГОЧНОЙ ГИПЕРТЕНЗИИ НА ОСНОВАНИИ ПОЛУЧЕННЫХ РАСЧЕТОВ	240
ПРАВОЖЕЛУДОЧКОВАЯ НЕДОСТАТОЧНОСТЬ	240
ДИФФЕРЕНЦИАЛЬНАЯ ДИАГНОСТИКА ПРИ ДИЛАТАЦИИ ПРАВЫХ КАМЕР СЕРДЦА И ПРИ ГИПЕРТРОФИИ СТЕНКИ ПРАВОГО ЖЕЛУДОЧКА	241
СПИСОК РЕКОМЕНДУЕМОЙ ЛИТЕРАТУРЫ	250
Глава 12. Расчеты для оценки функции желудочков и массы миокарда.	
Алгоритм исследования	251
РАСЧЕТЫ ДЛЯ ОЦЕНКИ ФУНКЦИИ ЖЕЛУДОЧКОВ	253
Оценка систолической функции левого и правого желудочков	253
M-режим	
Расчет объема желудочка / Расчет массы миокарда левого желудочка (left ventricular mass) / Индекс массы миокарда левого желудочка / Площадь поверхности тела (body surface area – BSA) / Расчет ударного объема (SV – stroke volume) / Расчет минутного объема кровотока (CO – cardiac output) / Расчет фракции выброса (EF – ejection fraction) / Расчет фракции укорочения волокон миокарда (FS – fraction shortening) / Расчет относительной толщины стенки левого желудочка (RWT – relative wall thickness) / Расчет напряжения на стенку левого желудочка (left ventricular wall stress) (σ) / Расчет скорости циркулярного укорочения волокон миокарда (VCF – velocity of circumferential fiber shortening)	
B-режим	
Расчет объема желудочка / Расчет объема левого предсердия / Расчет напряжения на стенку левого желудочка (left ventricular wall stress) (σ) / Расчет массы миокарда в B-режиме	
Импульсноволновой допплер	
Уравнение непрерывности потока для расчета ударного объема	
Непрерывноволновой допплер	
Расчет скорости нарастания давления в левом желудочке в начале систолы (dP/dt) / Расчет допплеровского эхокардиографического индекса (Index), или индекса Tei, для оценки функции левого и правого желудочков (sistолической и диастолической)	
Тканевой импульсноволновой допплер	
Оценка sistолической функции желудочков по скорости sistолического смещения левого или правого фиброзного кольца – Sm / Расчет фракции выброса левого желудочка по среднему значению скорости пика Sm движения фиброзного кольца митрального клапана / Расчет фракции выброса левого желудочка по автоматическому анализу трехмерного моделирования левого желудочка	
Оценка диастолической функции левого и правого желудочков	259
Импульсноволновой допплер	
Оценка параметров трансмитрального и транстриkuspidального диастолических потоков / Исследование кровотока в легочных венах для оценки диастолической функции левого желудочка / Исследование кровотока в печеночных венах для оценки диастолической функции правого желудочка / Оценка кровотока на митральном, триkuspidальном клапанах и в легочных венах для взрослой популяции	
Непрерывноволновой допплер	
Неинвазивный расчет временной константы расслабления (τ , Tau) и ригидности камеры левого желудочка	
Цветовой допплер	
Расчет скорости раннего диастолического наполнения левого желудочка в режиме цветового допплера (velocity propositio – Vp) / Оценка скоростей раннего и позднего диастолического наполнения желудочка в режиме цветового M-модального допплера	
Тканевой импульсноволновой допплер	
Расчет давления в левом предсердии и конечного диастолического давления в левом желудочке для оценки диастолической функции желудочка	
ОСОБЕННОСТИ ОЦЕНКИ СИСТОЛИЧЕСКОЙ И ДИАСТОЛИЧЕСКОЙ	
ФУНКЦИЙ ПРАВОГО ЖЕЛУДОЧКА	265
Особенности оценки sistолической функции правого желудочка	265
Особенности оценки диастолической функции правого желудочка	265
ТАКТИКА ПРОВЕДЕНИЯ ЭХОКАРДИОГРАФИЧЕСКОГО ИССЛЕДОВАНИЯ	
В ОЦЕНКЕ СИСТОЛИЧЕСКОЙ ФУНКЦИИ ЛЕВОГО ЖЕЛУДОЧКА	265
M- и B-режимы	265

Импульсноволновой допплер	265
Непрерывноволновой допплер	267
Цветовой допплер (Color Doppler) и цветовой М-режим допплера (Color M-mode)	267
Тканевой цветовой допплер	267
Тканевой импульсноволновой допплер (PW TDI)	267
ТАКТИКА ПРОВЕДЕНИЯ ЭХОКАРДИОГРАФИЧЕСКОГО ИССЛЕДОВАНИЯ	
В ОЦЕНКЕ СИСТОЛИЧЕСКОЙ ФУНКЦИИ ПРАВОГО ЖЕЛУДОЧКА.	267
М-режим	267
В-режим	267
Импульсноволновой допплер	268
Непрерывноволновой допплер	268
Цветовой допплер (Color Doppler) и цветовой М-режим допплера (Color M-mode)	268
Цветовой тканевой допплер (Color TDI)	268
Тканевой импульсноволновой допплер (PW TDI)	268
ТАКТИКА ПРОВЕДЕНИЯ ЭХОКАРДИОГРАФИЧЕСКОГО ИССЛЕДОВАНИЯ	
В ОЦЕНКЕ ДИАСТОЛИЧЕСКОЙ ФУНКЦИИ ЛЕВОГО И ПРАВОГО ЖЕЛУДОЧКОВ	269
Импульсноволновой допплер	269
Тканевой импульсноволновой допплер	269
Цветовой М-режим допплера	270
ВАРИАНТЫ НАРУШЕНИЯ ДИАСТОЛИЧЕСКОЙ ФУНКЦИИ ЛЕВОГО	
И ПРАВОГО ЖЕЛУДОЧКОВ. ФИЗИОЛОГИЧЕСКИЕ АГЕНТЫ, ВЛИЯЮЩИЕ	
НА ДИАСТОЛИЧЕСКУЮ ФУНКЦИЮ ЖЕЛУДОЧКОВ	270
Варианты нарушения диастолической функции левого и правого желудочков	270
Физиологические агенты, влияющие на диастолическую функцию	276
СПИСОК РЕКОМЕНДУЕМОЙ ЛИТЕРАТУРЫ	277
Глава 13. Ишемическая болезнь сердца и ее осложнения	279
ЭТИОЛОГИЯ	281
ГЕМОДИНАМИКА	281
ТЕХНОЛОГИЯ ПРОВЕДЕНИЯ ИССЛЕДОВАНИЯ	282
M- и B-режимы	282
Оценка глобальной сократимости миокарда левого и правого желудочков (оценка систолической функции)	
Оценка локальной сократимости миокарда (диагностика зон нарушения локальной сократимости)	
Деление миокарда левого желудочка на сегменты	
Кровоснабжение миокарда левого желудочка	
Расчет индекса сократимости для оценки степени нарушения систолической функции левого желудочка	
Импульсноволновой допплер	285
Непрерывноволновой допплер	285
Цветовой допплер	285
Тканевой цветовой допплер	285
Тканевой импульсноволновой допплер	285
ЭХОКАРДИОГРАФИЧЕСКИЕ ИЗМЕНЕНИЯ У БОЛЬНЫХ	
ИШЕМИЧЕСКОЙ БОЛЕЗНЬЮ СЕРДЦА	285
Стенокардия напряжения	285
Нестабильная стенокардия	287
Инфаркт миокарда без патологического зубца Q	287
Мелкоочаговый инфаркт миокарда	
Инtramуральный или субэндокардиальный распространенный инфаркт миокарда	
Инфаркт миокарда с патологическим зубцом Q	287
Крупноочаговый нераспространенный инфаркт миокарда	
Крупноочаговый распространенный инфаркт миокарда	
ОСЛОЖНЕНИЯ ИНФАРКТА МИОКАРДА	289
Формирование аневризмы	289
Тромбоз полости левого желудочка при инфаркте миокарда	290
Синдром Дресслера	292
Разрыв межжелудочковой перегородки с формированием приобретенного дефекта	292

Эффект спонтанного контрастирования или стагнация крови	294
Дисфункция папиллярной мышцы	294
Надрыв или расслаивание миокарда	294
Разрыв свободной стенки левого желудочка при инфаркте миокарда и гемотампонада сердца	297
Инфаркт миокарда правого желудочка	297
ОСОБЕННОСТИ ЭХОКАРДИОГРАФИЧЕСКОГО ИССЛЕДОВАНИЯ У БОЛЬНЫХ С НАРУШЕНИЕМ ВНУТРИЖЕЛУДОЧКОВОЙ ПРОВОДИМОСТИ	299
ОСОБЕННОСТИ ЭХОКАРДИОГРАФИЧЕСКОГО ИССЛЕДОВАНИЯ У БОЛЬНЫХ С КАРДИОСТИМУЛЯТОРОМ	299
ПОДБОР РЕЖИМА КАРДИОСТИМУЛЯЦИИ С ПОМОЩЬЮ ДОППЛЕРЭХОКАРДИОГРАФИИ	
ОСТРАЯ ЛЕВОЖЕЛУДОЧКОВАЯ НЕДОСТАТОЧНОСТЬ	300
ВОЗМОЖНОСТИ ТРАНСТОРАКАЛЬНОЙ ЭХОКАРДИОГРАФИИ В ИССЛЕДОВАНИИ КОРОНАРНЫХ АРТЕРИЙ	300
ЭХОКАРДИОГРАФИЧЕСКАЯ ОЦЕНКА БОЛЬНЫХ С ТЯЖЕЛОЙ СЕРДЕЧНОЙ НЕДОСТАТОЧНОСТЬЮ И ПОКАЗАНИЯ К РЕСИНХРОНИЗИРУЮЩЕЙ ТЕРАПИИ	303
ДИФФЕРЕНЦИАЛЬНАЯ ДИАГНОСТИКА ПРИ РАЗЛИЧНЫХ ВАРИАНТАХ НАРУШЕНИЯ ДВИЖЕНИЯ СТЕНОК ЖЕЛУДОЧКОВ И МЕЖЖЕЛУДОЧКОВОЙ ПЕРЕГОРОДКИ	305
СПИСОК РЕКОМЕНДУЕМОЙ ЛИТЕРАТУРЫ	307
Глава 14. Кардиомиопатии и вторичные изменения сердца на фоне различной патологии	309
ДИЛАТАЦИОННЫЕ КАРДИОМИОПАТИИ	311
Классификация дилатационных кардиомиопатий	311
Первичные, врожденные или генетические дилатационные кардиомиопатии Приобретенные или вторичные дилатационные кардиомиопатии	
Этиология приобретенных дилатационных кардиомиопатий	312
Эхокардиографические признаки дилатационных кардиомиопатий	312
Технология проведения исследования и эхокардиографические признаки	312
M-режим B-режим Импульсноволновой допплер Непрерывноволновой допплер Цветовой допплер Тканевой импульсноволновой допплер	
ГИПЕРТРОФИЧЕСКИЕ КАРДИОМИОПАТИИ	314
Этиология гипертрофических кардиомиопатий	314
Врожденная или генетическая Приобретенная	
Виды гипертрофической кардиомиопатии	315
Необструктивная Обструктивная	
Типы гипертрофической кардиомиопатии	315
Асимметрическая гипертрофия Симметрическая гипертрофия	
Оценка изменения левого желудочка у больных с гипертрофической кардиомиопатией	315
Необструктивная гипертрофическая кардиомиопатия	317
Технология проведения исследования и эхокардиографические признаки M-режим / B-режим / Импульсноволновой допплер / Непрерывноволновой допплер / Цветовой допплер / Тканевой импульсноволновой допплер	
Обструктивная гипертрофическая кардиомиопатия или субаортальный стеноз	317
Гемодинамика при обструктивной гипертрофической кардиомиопатии Технология проведения исследования и эхокардиографические признаки M-режим / B-режим / Импульсноволновой допплер / Непрерывноволновой допплер / Цветовой допплер / Тканевой импульсноволновой допплер	
РЕСТРИКТИВНЫЕ КАРДИОМИОПАТИИ	323
Классификация рестриктивных кардиомиопатий	323
Первичные рестриктивные кардиомиопатии Вторичные рестриктивные кардиомиопатии Инфильтративные рестриктивные кардиомиопатии	

Технология проведения исследования и эхокардиографические признаки	324
<i>М-режим</i>	
<i>В-режим</i>	
<i>Импульсноволновой допплер</i>	
<i>Непрерывноволновой допплер</i>	
<i>Цветовой допплер</i>	
<i>Тканевой импульсноволновой допплер</i>	
ЭХОКАРДИОГРАФИЧЕСКИЕ ИЗМЕНЕНИЯ СЕРДЦА	
У ЖЕНЩИН НА ФОНЕ БЕРЕМЕННОСТИ	326
ЭХОКАРДИОГРАФИЧЕСКИЕ ИЗМЕНЕНИЯ	
ПРИ АРТЕРИАЛЬНОЙ ГИПЕРТЕНЗИИ	327
ЭХОКАРДИОГРАФИЧЕСКИЕ ИЗМЕНЕНИЯ ПРИ ХРОНИЧЕСКИХ	
ОБСТРУКТИВНЫХ БОЛЕЗНЯХ ЛЕГКИХ	328
ЭХОКАРДИОГРАФИЧЕСКИЕ ИЗМЕНЕНИЯ ПРИ ТРОМБОЭМБОЛИИ	
ЛЕГОЧНОЙ АРТЕРИИ	328
ЭХОКАРДИОГРАФИЧЕСКИЕ ИЗМЕНЕНИЯ НА ФОНЕ ХРОНИЧЕСКОЙ	
ПОЧЕЧНОЙ НЕДОСТАТОЧНОСТИ	329
ВОЗРАСТНЫЕ ИЗМЕНЕНИЯ СЕРДЦА	330
ИЗМЕНЕНИЯ СЕРДЦА У БОЛЬНЫХ С ДЛЯТЕЛЬНО СУЩЕСТВУЮЩИМ	
МЕРЦАНИЕМ ПРЕДСЕРДИЙ	331
ИЗМЕНЕНИЯ СЕРДЦА У БОЛЬНЫХ С СИСТЕМНЫМИ ЗАБОЛЕВАНИЯМИ	
(СИСТЕМНАЯ КРАСНАЯ ВОЛЧАНКА, СКЛЕРОДЕРМИЯ И Т.Д.)	331
ИЗМЕНЕНИЯ СЕРДЦА ПРИ АМИЛОИДОЗЕ	332
ИЗМЕНЕНИЯ СЕРДЦА ПРИ ДЛЯТЕЛЬНО СУЩЕСТВУЮЩЕМ ПОСТОЯННОМ	
ЭЛЕКТРОКАРДИОСТИМУЛЯТОРЕ	332
ИЗМЕНЕНИЯ СЕРДЦА У БОЛЬНЫХ С ИНСУЛИНЗАВИСИМЫМ САХАРНЫМ ДИАБЕТОМ	333
ИЗМЕНЕНИЯ СЕРДЦА ПРИ МИОКАРДИТЕ	333
ИЗМЕНЕНИЯ СЕРДЦА НА ФОНЕ КУРЕНИЯ	334
ИЗМЕНЕНИЯ СО СТОРОНЫ СЕРДЦА У БОЛЬНЫХ ПОСЛЕ ПРОВЕДЕНИЯ	
ХИМИОТЕРАПИИ ИЛИ ЛУЧЕВОЙ ТЕРАПИИ	334
ИЗМЕНЕНИЯ СЕРДЦА В РЕЗУЛЬТАТЕ ВОЗДЕЙСТВИЯ ТОКСИЧНЫХ АГЕНТОВ	334
ИЗМЕНЕНИЕ СЕРДЦА И АОРТЫ ПРИ СИФИЛИСЕ	334
ИЗМЕНЕНИЯ СЕРДЦА У ВИЧ-ИНФИЦИРОВАННЫХ БОЛЬНЫХ	334
ИЗМЕНЕНИЯ СЕРДЦА ПРИ САРКОИДОЗЕ	334
ИЗМЕНЕНИЯ СЕРДЦА ПРИ КАРЦИНОИДНОМ ПОРАЖЕНИИ	
(КАРЦИНОИДНАЯ БОЛЕЗНЬ СЕРДЦА)	335
ДИФФЕРЕНЦИАЛЬНАЯ ДИАГНОСТИКА ПРИ ДИЛАТАЦИИ КАМЕР СЕРДЦА	
И ПРИ ГИПЕРТРОФИИ СТЕНОК ЛЕВОГО ЖЕЛУДОЧКА	335
СПИСОК РЕКОМЕНДУЕМОЙ ЛИТЕРАТУРЫ	339
Глава 15. Патология перикарда и плевры	341
ПАТОЛОГИЯ ПЕРИКАРДА	343
Жидкость в полости перикарда (перикардит)	344
Этиология перикардитов	
Гемодинамические изменения при перикардите	
Технология проведения исследования	
<i>М- и В-режимы / Импульсноволновой допплер / Непрерывноволновой допплер / Цветовой допплер / Тканевой импульсноволновой допплер</i>	
Тампонада сердца	351
Гемодинамика при тампонаде сердца	
Технология проведения исследования	
<i>М- и В-режимы / Импульсноволновой допплер / Непрерывноволновой допплер / Цветовой допплер / Тканевой импульсноволновой допплер</i>	
Констриктивный перикардит	354
Этиология констриктивного перикардита	
Патоморфологическая классификация констриктивного перикардита	

<i>Гемодинамика при конструктивном перикардите</i>	
<i>Технология проведения исследования</i>	
<i>M-режим / В-режим / Импульсноволновой допплер / Непрерывноволновой допплер / Цветовой допплер / Тканевой импульсноволновой допплер</i>	
Экссудативно-конструктивный перикардит	358
Адгезивный перикардит	358
Киста перикарда	358
Врожденное отсутствие перикарда	358
Первичные и вторичные опухоли перикарда	358
Перикардиоцентез под контролем ультразвука	358
Ошибки диагностики перикардита	359
ИССЛЕДОВАНИЕ ЖИДКОСТИ В ПЛЕВРАЛЬНЫХ ПОЛОСТЯХ	360
Расчет количества жидкости в плевральных полостях	360
Оценка эхогенности жидкости и состояния листков плевры	360
ДИФФЕРЕНЦИАЛЬНАЯ ДИАГНОСТИКА ПАТОЛОГИИ ПЕРИКАРДА И ПЛЕВРЫ	360
СПИСОК РЕКОМЕНДУЕМОЙ ЛИТЕРАТУРЫ	364
Глава 16. Патология аорты. Отслойка интимы аорты	365
ЭТИОЛОГИЯ БОЛЕЗНЕЙ АОРТЫ	367
Врожденная патология стенки аорты	367
Приобретенная патология стенки аорты	369
ТЕХНОЛОГИЯ ПРОВЕДЕНИЯ ИССЛЕДОВАНИЯ	369
M-режим	369
В-режим	369
Импульсноволновой допплер	369
Непрерывноволновой допплер	369
Цветовой допплер	369
Тканевой импульсноволновой допплер	369
КЛАССИФИКАЦИЯ ПАТОЛОГИИ АОРТЫ	369
Аневризма синуса Вальсальвы	369
Абсцесс корня аорты	370
Аневризма аорты	370
Аневризма грудной восходящей аорты	370
Аортоанулярная эктазия	370
Ложная аневризма аорты	370
Отслойка интимы аорты	372
Классификации отслойки интимы аорты	
Эхокардиографические признаки отслойки интимы аорты	
ДИФФЕРЕНЦИАЛЬНАЯ ДИАГНОСТИКА ОТСЛОЙКИ ИНТИМЫ АОРТЫ	
И ДИЛАТАЦИИ АОРТЫ В ГРУДНОМ ВОСХОДЯЩЕМ ОТДЕЛЕ	378
СПИСОК РЕКОМЕНДУЕМОЙ ЛИТЕРАТУРЫ	380
Глава 17. Инфекционный эндокардит и его осложнения	381
ЭТИОЛОГИЯ ИНФЕКЦИОННОГО ЭНДОКАРДИТА	383
ПАТОФИЗИОЛОГИЯ ИНФЕКЦИОННОГО ЭНДОКАРДИТА	383
Морфологические аспекты патологии эндокарда и миокарда	383
Патоморфологическая характеристика вегетаций	384
Частота поражения клапанов сердца при инфекционном эндокардите	384
Возбудители инфекционного эндокардита	385
КЛИНИКО-ДИАГНОСТИЧЕСКИЕ КРИТЕРИИ ИНФЕКЦИОННОГО ЭНДОКАРДИТА	385
Критерии Duke для диагностики инфекционного эндокардита	385
Рекомендации Европейской ассоциации кардиологов в диагностике инфекционного эндокардита	386
КЛАССИФИКАЦИИ ИНФЕКЦИОННОГО ЭНДОКАРДИТА	386
ОСОБЕННОСТИ ПОРАЖЕНИЯ КЛАПАННОГО АППАРАТА ПРИ ИНФЕКЦИОННОМ ЭНДОКАРДИТЕ	386
ВОЗМОЖНОСТИ ЭХОКАРДИОГРАФИИ ПРИ ИНФЕКЦИОННОМ ЭНДОКАРДИТЕ	387
Технология проведения исследования	387
M-режим	

<i>В-режим</i>	
Импульсноволновой допплер	
Непрерывноволновой допплер	
Цветовой допплер	
Тканевой импульсноволновой допплер	
Осложнения инфекционного эндокардита, диагностируемые с помощью эхокардиографии	389
Осложнения при поражении митрального и триkuspidального клапанов	
Осложнения при поражении аортального клапана и клапана легочной артерии	
Другие осложнения инфекционного эндокардита	
Неклапанное поражение при инфекционном эндокардите	
ОСОБЕННОСТИ ТЕЧЕНИЯ ИНФЕКЦИОННОГО ЭНДОКАРДИТА	
у НЕКОТОРЫХ КАТЕГОРИЙ БОЛЬНЫХ	398
Эндокардит на фоне врожденных пороков сердца	398
Эндокардит на протезированных клапанах сердца	398
Эндокардит на фоне приобретенных пороков сердца	400
Эндокардит на фоне сифилиса и ВИЧ-инфекции	400
Эндокардит с поражением правых камер сердца	400
Эндокардит у больных, находящихся на гемодиализе и перitoneальном диализе	400
Эндокардит у больных старше 70 лет	400
Эндокардит у больных с постоянным кардиостимулятором	400
ЧРЕСПИЩЕВОДНАЯ ЭХОКАРДИОГРАФИЯ В ДИАГНОСТИКЕ ИНФЕКЦИОННОГО ЭНДОКАРДИТА И ЕГО ОСЛОЖНЕНИЙ	402
АНАТОМИЧЕСКИЕ ОБРАЗОВАНИЯ, КОТОРЫЕ МОГУТ БЫТЬ ОШИБОЧНО ПРИНЯТЫ ЗА ВЕГЕТАЦИИ	402
ДРУГИЕ ИЗМЕНЕНИЯ СТВОРОК КЛАПАНОВ, СИМУЛИРУЮЩИЕ ВЕГЕТАЦИИ	402
АЛГОРИТМЫ УЛЬТРАЗВУКОВОЙ ДИАГНОСТИКИ ИНФЕКЦИОННОГО ЭНДОКАРДИТА И ТАКТИКИ ВЕДЕНИЯ БОЛЬНОГО	404
Алгоритм ультразвуковой диагностики инфекционного эндокардита	404
Алгоритм тактики ведения больного на основании данных ультразвукового исследования сердца при инфекционном эндокардите и его осложнениях	405
Вегетации небольших размеров, не пролабирующие (клиническая картина инфекционного эндокардита)	
Вегетации больших размеров, пролабирующие (клиническая картина инфекционного эндокардита)	
Вегетации не визуализируются в остром периоде – краевые разрушения створок (клиническая картина инфекционного эндокардита)	
Формирование абсцесса корня аорты, абсцесса створки, фистулы створки (независимо от давности процесса)	
ДИФФЕРЕНЦИАЛЬНАЯ ДИАГНОСТИКА ИНФЕКЦИОННОГО ЭНДОКАРДИТА	405
СПИСОК РЕКОМЕНДУЕМОЙ ЛИТЕРАТУРЫ	409
Глава 18. Объемные образования сердца и средостения	411
ОБЪЕМНЫЕ ОБРАЗОВАНИЯ СЕРДЦА	413
Тромбы	413
Инtrakардиальные тромбы	
Экстракардиальные тромбы	
Кальцинаты больших размеров	421
ОБЪЕМНЫЕ ОБРАЗОВАНИЯ СРЕДОСТЕНИЯ	421
Лимфома	423
Тимома	423
Киста легкого	423
Конгломераты лимфатических узлов переднего средостения при лимфогрануломатозе	423
Аневризма грудного нисходящего отдела аорты	423
Киста перикарда	423
Гематома переднего средостения	423
Рак легкого с прорастанием легкого	423
Коллабированное легкое при гидротораксе	423
Сгустки фибрина в плевральной жидкости	423
Сгустки гноя в плевральной полости (эмпиема плевры)	423

Эхинококковые кисты средостения и легких	423
ОПУХОЛИ СЕРДЦА	425
Добропачественные первичные опухоли сердца.....	425
Миксома	
Папиллома	
Фиброма	
Рабдомиома	
Кровяная киста	
Злокачественные первичные опухоли сердца	429
Вторичные опухоли сердца – метастазы в сердце	429
ОБЪЕМНЫЕ ОБРАЗОВАНИЯ ПЕРИКАРДА.....	431
Тромбоз перикарда.....	431
Метастазы в перикард	431
Опухоли перикарда.....	431
МИРАЖИ	431
ДИФФЕРЕНЦИАЛЬНАЯ ДИАГНОСТИКА ОБЪЕМНЫХ ОБРАЗОВАНИЙ СЕРДЦА И СРЕДОСТЕНИЯ.....	431
СПИСОК РЕКОМЕНДУЕМОЙ ЛИТЕРАТУРЫ.....	440
Глава 19. Протезированные клапаны сердца и другие корригирующие устройства . . 441	
ВАРИАНТЫ ПРОТЕЗИРОВАННЫХ КЛАПАНОВ СЕРДЦА.....	443
Механические протезы	443
Биологические протезы.....	443
ВОЗМОЖНОСТИ ЭХОКАРДИОГРАФИИ В ОЦЕНКЕ ФУНКЦИИ ПРОТЕЗИРОВАННЫХ КЛАПАНОВ СЕРДЦА.....	447
Технология проведения исследования	447
M-режим	
B-режим	
Импульсноволновой допплер	
Непрерывноволновой допплер	
Цветовой допплер	
Тканевой импульсноволновой допплер	
ЭХОКАРДИОГРАФИЧЕСКИЕ ОСОБЕННОСТИ ПРОТЕЗИРОВАННЫХ КЛАПАНОВ СЕРДЦА В РАЗЛИЧНЫХ ПОЗИЦИЯХ	448
Митральный клапан	448
Аортальный клапан	449
Триkuspidальный клапан	449
Легочный клапан	449
ОСЛОЖНЕНИЯ ПРИ ПРОТЕЗИРОВАНИИ КЛАПАНОВ СЕРДЦА И ВОЗМОЖНОСТИ ЭХОКАРДИОГРАФИИ В ИХ ДИАГНОСТИКЕ	453
Тромбоз стойки протеза	453
Эмболии	453
Инфекционный эндокардит на протезе.....	453
Патологическая регургитация на протезе	453
Смещение стойки протеза	454
Развитие абсцесса корня аорты при протезировании аортального клапана.....	454
Фистула между аортой и одной из камер сердца	454
Развитие парапротезной фистулы.....	454
Отрыв створки биологического протеза.....	454
Разрушение или кальцификация створок биопротеза	454
Увеличение степени парапротезной регургитации.....	456
Уменьшение эффективной площади протеза	456
ВАРИАНТЫ НЕКЛАПАННЫХ ПРОТЕЗОВ.	456
Кондуиты, или обходники	456
Стенты	456
Эндопротез брюшного или грудного отдела аорты	457
Протез брюшного или грудного отдела аорты	457
Окклюдеры	457
Заплаты	459
Искусственное межпредсердное сообщение, или выпускник	459

Аппарат «искусственное сердце», или система HeartWare	459
Дефибриллятор-кардиовертер.....	460
СПИСОК РЕКОМЕНДУЕМОЙ ЛИТЕРАТУРЫ.....	460
Глава 20. Травмы сердца	463
КЛАССИФИКАЦИЯ ТРАВМ СЕРДЦА	465
Непенетрирующие травмы сердца	465
Пенетрирующие травмы сердца	465
ТЕХНОЛОГИЯ ПРОВЕДЕНИЯ ИССЛЕДОВАНИЯ	466
М-режим	466
В-режим	466
Импульсноволновой допплер	466
Непрерывноволновой допплер.....	466
Цветовой допплер	466
Тканевой импульсноволновой допплер	466
ВОЗМОЖНОСТИ ЭХОКАРДИОГРАФИИ В ДИАГНОСТИКЕ ТРАВМЫ СЕРДЦА	466
Диагностика жидкости в полости перикарда	466
Диагностика повреждения клапанов сердца и подклапанных структур	466
Диагностика тампонады сердца	466
Диагностика ложной аневризмы	466
Диагностика посттравматического инфаркта и его локализации	467
Диагностика патологической регургитации, ее степени и гемодинамической значимости	467
Диагностика инородных тел в полостях сердца (электрод, катетер).....	467
Диагностика внутрисердечного тромбоза	467
Диагностика аневризмы грудной восходящей аорты или отслойки интимы аорты	468
Диагностика разрыва межжелудочковой перегородки	468
СПИСОК РЕКОМЕНДУЕМОЙ ЛИТЕРАТУРЫ.....	469
Глава 21. Врожденные пороки сердца у взрослых	471
ТАКТИКА ПРОВЕДЕНИЯ ИССЛЕДОВАНИЯ	473
М-режим	473
В-режим	473
Импульсноволновой допплер	474
Непрерывноволновой допплер.....	474
Цветовой допплер	474
Тканевой импульсноволновой допплер.....	474
ЧАСТЫЕ ВРОЖДЕННЫЕ ПОРОКИ СЕРДЦА У ВЗРОСЛЫХ.....	474
Пороки с шунтированием крови	474
Клапанные врожденные пороки сердца	484
Надклапанные и подклапанные стенозы.....	488
Коарктация аорты	488
РЕДКИЕ ВРОЖДЕННЫЕ ПОРОКИ СЕРДЦА У ВЗРОСЛЫХ.....	490
Тетрада Фалло	490
Аномалия Эбштейна.....	492
Аномальный дренаж легочных вен	494
Общий атриовентрикулярный канал	494
Транспозиция магистральных сосудов	496
Транспозиция желудочков.....	496
Комплекс Эйзенменгера	496
Первичная легочная гипертензия.....	499
Атрезия триkuspidального клапана.....	499
Единственный желудочек («сердце лягушки»).....	499
Пороки развития коронарных артерий	500
Аномалии развития коронарного синуса	501
Двойное отхождение аорты и легочной артерии от правого желудочка.....	502
Сложные врожденные пороки сердца у взрослых.....	504
Некомпактный миокард	507
Трехпредсердное сердце, или <i>cor triatriatum</i>	507
Оперированные врожденные пороки сердца.....	510

Расчет объема шунтирования крови, или расчет отношения легочного кровотока к системному кровотоку, или расчет Qp/Qs	510
СПИСОК РЕКОМЕНДУЕМОЙ ЛИТЕРАТУРЫ.....	510
Глава 22. Ургентная эхокардиография	513
Рекомендации Европейской кардиологической ассоциации в диагностике и лечении острой сердечной недостаточности	515
Причины наиболее частых обращений к специалисту ультразвуковой диагностики в отделениях реанимации	515
Причины возникновения патологического шума в сердце у больного по сравнению с исходным исследованием.....	515
Обширный острый инфаркт миокарда с синдромом низкого сердечного выброса	
Разрыв межжелудочковой перегородки с формированием приобретенного дефекта межжелудочковой перегородки	
Декомпенсация клапанного или врожденного порока сердца	
Острая дисфункция протеза	
Аневризма аорты или отслойка интимы аорты с гемотампонадой	
Острая митральная регургитация на фоне ишемического отрыва папиллярной мышцы, ишемической дисфункции папиллярной мышцы, отрыва хорд на фоне миксоматозной дегенерации, эндокардита, травмы	
Острая аортальная регургитация на фоне эндокардита, расслаивающей аневризмы аорты, закрытой травмы груди	
Разрыв аневризмы синуса Вальсальвы	
Декомпенсация хронической кардиомиопатии	
Тромбоэмболия легочной артерии	
Тампонада сердца на фоне острого перикардита	
Эмболии на фоне опухоли сердца (миксома)	
Эмболии на фоне мерцания предсердий	
Парадоксальные эмболии	
Отслойка интимы легочной артерии	
СПИСОК РЕКОМЕНДУЕМОЙ ЛИТЕРАТУРЫ.....	522
Глава 23. Возможные ошибки эхокардиографического исследования	523
Ошибки в проведении стандартных измерений и расчетов	525
Ошибки, связанные с неправильным выведением позиции на экране	525
Ошибки в неправильной трактовке нормальных анатомических образований	525
Ошибки в диагностике дефекта межпредсердной перегородки	525
Ошибки в оценке кровотока вокруг мембранны овальной ямки	
в режиме цветового допплера	526
Ошибки в диагностике пролапса митрального клапана.....	526
Ошибки в диагностике жидкости в полости перикарда	527
Ошибки в диагностике клапанных пороков сердца.....	527
Ошибки в оценке систолической функции желудочков	528
Ошибки в диагностике осложнений ишемической болезни сердца	528
Ошибки в оценке степени клапанной регургитации	528
Ошибки в диагностике вегетаций	528
Ошибки в диагностике редких врожденных пороков сердца	530
Ошибки в диагностике редкой патологии сердца	530
СПИСОК РЕКОМЕНДУЕМОЙ ЛИТЕРАТУРЫ.....	530
Глава 24. Чреспищеводная эхокардиография. Контрастная эхокардиография. Стресс-эхокардиография.....	531
ЧРЕСПИЩЕВОДНАЯ ЭХОКАРДИОГРАФИЯ.....	533
Манипуляции с датчиком.....	533
Три основных анатомических аспекта при проведении чреспищеводной эхокардиографии	535
Показания к проведению чреспищеводного исследования сердца, или чреспищеводной эхокардиографии	535
Возможные чреспищеводные позиции в зависимости от глубины сканирования	535
Основные базовые чреспищеводные позиции, которые считаются обязательными при проведении чреспищеводной эхокардиографии	535
Порядок и последовательность практического применения стандартных чреспищеводных эхокардиографических позиций во время исследования	536

Основные направления использования чреспищеводной эхокардиографии в современной кардиологии	536
КОНТРАСТНАЯ ЭХОКАРДИОГРАФИЯ.....	543
СТРЕСС-ЭХОКАРДИОГРАФИЯ, ИЛИ НАГРУЗОЧНАЯ ЭХОКАРДИОГРАФИЯ	548
СПИСОК РЕКОМЕНДУЕМОЙ ЛИТЕРАТУРЫ.....	548
Глава 25. Правила написания протокола эхокардиографического заключения.....	551
Рекомендуемый план написания эхокардиографического заключения	553
Стандартные измерения	553
Оценка состояния клапанного аппарата и фиброзных колец	553
Оценка степени гипертрофии стенок желудочков и дилатации полостей сердца	554
Оценка глобальной систолической функции желудочков	554
Оценка локальной сократимости миокарда левого и правого желудочков	554
Дополнительная информация.....	554
Оценка состояния нижней полой вены	554
Оценка состояния брюшного отдела аорты	554
Состояние перикарда	554
Состояние плевральных полостей	554
Допплеровское исследование	554
Заключение	555
СПИСОК РЕКОМЕНДУЕМОЙ ЛИТЕРАТУРЫ.....	555
Приложение. Примеры эхокардиографических заключений	557

Список обозначений на иллюстрациях

АК – аортальный клапан	МПП – межпредсердная перегородка
АО – аорта	МР – митральная регургитация
АР – аортальная регургитация	МС – митральный стеноз
бр. АО – брюшной отдел аорты	НКС – некоронарная створка (аортального клапана)
ВПВ – верхняя полая вена	НПВ – нижняя полая вена
ВТЛЖ (LVOT) – выносящий тракт левого желудочка	ОАП – открытый артериальный проток
ВТПЖ (RVOT) – выносящий тракт правого желудочка	ОО – открытое овальное окно
ГКМП – гипертрофическая кардиомиопатия	ПВ – печеночная вена
ГЛЖ – гипертрофия левого желудочка	ПВЛА – правая ветвь легочной артерии
ГПЖ – гипертрофия правого желудочка	ПГС – плечеголовной ствол
ДКМП – дилатационная кардиомиопатия	ПЖ – правый желудочек
ДМЖП – дефект межжелудочковой перегородки	ПКА – правая коронарная артерия
ДМПП – дефект межпредсердной перегородки	ПКС – правая коронарная створка (аортального клапана)
ЗМК – заднемедиальная комиссура	ПЛК – переднелатеральная комиссура
ЗМПМ – заднемедиальная папиллярная мышца	ПЛПМ – переднелатеральная папиллярная мышца
ЗС – задняя створка (триkuspidального клапана)	ПМ – папиллярная мышца
ЗСЛЖ – задняя стенка левого желудочка	ПМК – пролапс митрального клапана
ЗСМК – задняя створка митрального клапана	ПП – правое предсердие
ИМЛЖ – инфаркт миокарда левого желудочка	ПС – передняя створка (триkuspidального клапана)
ИМПЖ – инфаркт миокарда правого желудочка	ПрС (ЛК) – правая створка (легочного клапана)
КДО – конечный диастолический объем	ПС – передняя створка (триkuspidального клапана)
КС – коронарный синус	ПСЛЖ – передняя стенка левого желудочка
КСО – конечный систолический объем	ПСМК – передняя створка митрального клапана
ЛА – легочная артерия	РКМП – рестриктивная кардиомиопатия
ЛВ – легочная вена	СС – септальная створка (триkuspidального клапана)
ЛВЛА – левая ветвь легочной артерии	ТК – триkuspidальный клапан
ЛГ – легочная гипертензия	ТР – триkuspidальная регургитация
ЛЖ – левый желудочек	ТС – триkuspidальный стеноз
ЛК – легочный клапан (клапан легочной артерии)	ФВ – фракция выброса
ЛКС – левая коронарная створка (аортального клапана)	ФВЛЖ – фракция выброса левого желудочка
ЛП – левое предсердие	ЧСС – частота сердечных сокращений
ЛПА – левая подключичная артерия	CW – Continuouse Wave (непрерывноволновой допплер)
ЛР – легочная регургитация	HPRF – High Puls Repetition Frequency (режим высокой частоты повторения импульсов)
ЛС – легочный стеноз (стеноз клапана легочной артерии)	N – норма
ЛСА – левая сонная артерия	PD – Power Doppler (энергетический допплер)
МЖП – межжелудочковая перегородка	PG – градиент давления
МК – митральный клапан	PW – Pulsed Wave (импульсноволновой допплер)
ММ – масса миокарда	
МП – модераторный пучок	

Введение

История ультразвука и эхокардиографии. Варианты современного эхокардиографического исследования

Эхокардиография, или ультразвуковое исследование сердца, является ничем иным, как кардиологией с точки зрения ультразвука. Не зная кардиологию, невозможно заниматься эхокардиографией. Методика существует 60 лет с того момента, когда Э. Эдлером была опубликована первая статья об опыте применения ультразвука для диагностики патологии митрального клапана.

Но на самом деле история современного ультразвука начинается гораздо раньше.

В 2013 г. кардиологическая общественность отметила знаменательную дату: 210 лет со дня рождения Кристиана Иоганна Допплера. В австрийском Зальцбурге жил и работал ученый, математик, физик, астроном Кристиан Иоганн Допплер (Christian Johann Doppler) (29.11.1803–17.03.1853) (рис. 1).

Он изучал математику в Венском политехническом институте и высшую математику, физику и астрономию в Венском университете. После нескольких лет работы получил должность профессора элементарной математики в Праге. Именно здесь в 1842 г. была опубликована его статья «О цветовом свечении двойных звезд и, конечно, других звезд Вселенной», которая и явилась главной работой его жизни.

История его открытия очень проста и поучительна. По легенде, Допплер прогуливался в окрестностях города в ясный, тихий и безветренный день. Внезапно его внимание привлек какой-то звук вдалеке. Он посмотрел вдаль и ничего не увидел. Спустя несколько минут звук стал нарастать, и Допплер увидел приближающийся к тому месту, где он стоял, поезд (по другой легенде это был дилижанс). Когда поезд поравнялся с Допплером, звук был максимальным, когда поезд стал удаляться, звук стал уменьшаться и совсем затих. Казалось бы, человечество

веками наблюдало это явление, но математически обосновать этот феномен и рассчитать скорость распространения звука в среде первому удалось Допплеру.

Допплер опубликовал большое количество научных трудов по математике, астрономии, магнетизму. В знак признания заслуг он был избран членом Императорской академии наук в Вене. К сожалению, сам Допплер не отличался крепким здоровьем и прожил недолгую жизнь. Он болел туберкулезом. В 1852 г. его здоровье ухудшилось, а годом позже он скончался в Венеции, куда приехал на лечение. Допплер похоронен на кладбище Сан-Мишель около Венеции.

На одно столетие раньше, в 1738 г., великий голландский ученый Д. Бернуlli (D. Bernoulli) (1700–1782) опубликовал свой труд «Гидродинамика», тем самым заложив основу современной физики гидравлики и эхокардиографии (рис. 2).

С.Н. Buys-Ballot (1817–1890) экспериментально доказал правильность допплеровского эффекта для расчета сдвига частоты звукового сигнала.

В 1953 г. в шведском городе Лунде в кардиологическом отделении университетского госпиталя работал врачом Инге Эдлер (Inge Edler) (1911–2001). Он часто испытывал трудности в оценке больных с ревматическими пороками сердца, число которых после Второй мировой войны было большим. Он и предложил использовать новую визуализирующую неинвазивную технологию. Эдлер обратился за помощью к своему другу инженеру Карлу Хельмуту Герцу (Helmuth Hertz) (1920–1990) (рис. 3).

К.Х. Герц попытался адаптировать технический ультразвуковой прибор для кардиологического исследования. Это был технический ультразвуковой прибор – рефлектоскоп фирмы «Сименс». С его по-



Рис. 1. Портрет К.И. Допплера.

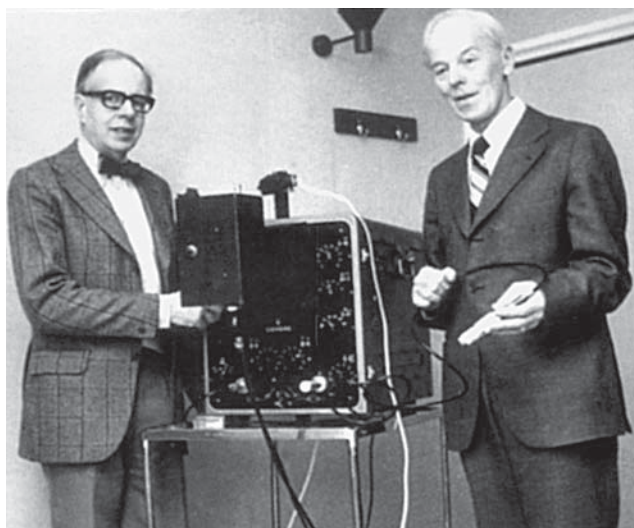


Рис. 3. И. Эдлер и К.Х. Герц.

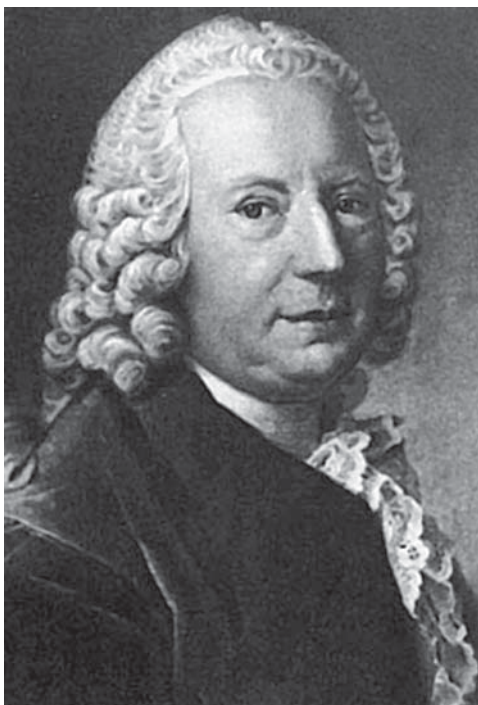


Рис. 2. Портрет Д. Бернулли.

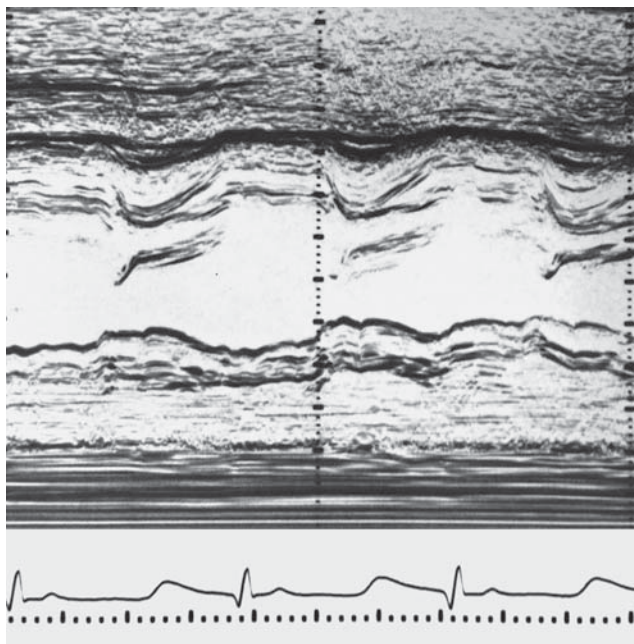


Рис. 4. Так выглядели первые эхограммы.

мощью Герцу удалось получить первые изображения движения стенок сердца и створок митрального клапана в М-режиме, зафиксировать их с помощью камеры и опубликовать результаты своей работы. Дата публикации этой статьи и считается в настоящее время датой рождения эхокардиографии (рис. 4).

Историю развития эхокардиографии можно разделить на несколько этапов, напрямую связанных с развитием инженерной мысли и техническим прогрессом.

Первый этап способствовал появлению М-режима. В конце 60-х годов XX века Х. Фейгенбаум (Н. Fei-

genbaum) издал первый учебник по эхокардиографии, основываясь на анализе данных М-режима. Эта книга быстро стала популярной среди кардиологов и содержала рекомендации по внедрению метода в практику.

Второй этап связан с появлением В-режима. Двухмерная эхокардиография позволила оценить состояние клапанного аппарата, подклапанных структур, мышцы сердца, магистральных сосудов, перикарда в реальном времени. В 70-е годы двадцатого столетия был накоплен богатый опыт исследования

сердца в реальном времени, разработаны первые нормативы.

Третий этап начинается с появления на рынке ультразвуковых приборов с импульсноволновым допплером. Возможность оценки кровотока в конкретной точке, измерение скоростных, временных и объемных показателей дали новый импульс развитию эхокардиографии.

Невозможность оценить высокоскоростной кровоток при помощи импульсноволнового допплера способствовала созданию непрерывноволнового допплера. Этот, четвертый, этап развития эхокардиографии позволил методу занять одну из ведущих позиций в кардиологической практике. Большой вклад в создание нормативов оценки степени клапанных пороков сердца и гемодинамики малого круга кровообращения внесла Лив Хатл (Liv Hatle).

Пятый этап в истории эхокардиографии связан с появлением цветового допплера. Быстрая качественная и количественная оценка кровотока с помощью этого метода привела к тому, что в настоящее время все эхокардиографы оснащены данным вариантом допплера и именно с него мы начинаем допплеровское исследование кровотока.

Шестой этап связан с внедрением в практику современной чреспищеводной эхокардиографии. Данный метод исследования получил широкую популярность в кардиохирургии.

Седьмой этап связан с появлением современных контрастных препаратов. Исследование перфузии миокарда, оценка состояния границы «эндокард–кровь» стали возможны благодаря контрастным веществам, проходящим легочно-капиллярный барьер.

Восьмой этап связан с возникновением и развитием цифровых технологий. Появление тканевого допплера и его вариантов, программ для проведения стресс-эхокардиографии, приборов с возможностью трех- и четырехмерного моделирования сердца позволило получать больший объем информации у больных с патологией сердца и улучшить качество диагностики.

Более 40 лет тому назад в Москве, в Институте профилактической медицины в Петроверигском переулке был установлен первый эхокардиограф, после чего началось развитие отечественной эхокардиографии. Большой вклад в развитие данного направления внесли Ю.Н. Богин, В.А. Сандриков, О.Ю. Атьков, И.Н. Митина, Е.П. Затикян и др.

ЭХОКАРДИОГРАФИЯ – ВЧЕРА, СЕГОДНЯ, ЗАВТРА

На протяжении последних лет эхокардиография является ведущим методом диагностики патологии сердца. Как любой диагностический метод, эхокардиография имеет свои достоинства и недостатки. Широкое внедрение метода в практику обусловлено

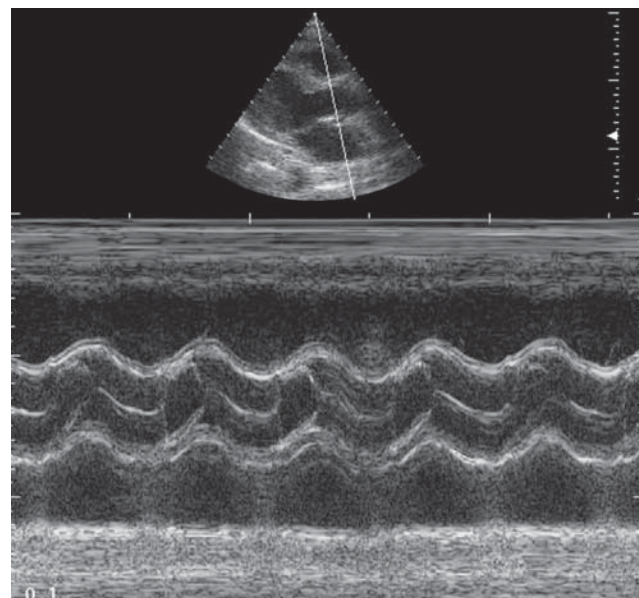


Рис. 5. М-режим. График экскурсии корня аорты.

высоким уровнем современной аппаратуры, отсутствием вредного влияния на пациента и врача, относительно низкой стоимостью по сравнению с остальными видами исследований. Наличие большого количества вариантов исследования позволяет получить точную анатомическую и гемодинамическую информацию о больном и избежать инвазивных вмешательств. Недостатком эхокардиографии является выраженная зависимость от квалификации исследователя. Специалист, занимающийся ультразвуковой диагностикой сердца, должен быть кардиологом, в совершенстве знать топографическую анатомию грудной клетки, гемодинамику сердца, иметь пространственное мышление. При отсутствии одного из данных качеств у исследователя резко возрастает процент ошибок диагностики. В данном обзоре мы постараемся осветить все варианты современного эхокардиографического исследования.

ВАРИАНТЫ ЭХОКАРДИОГРАФИЧЕСКОГО ИССЛЕДОВАНИЯ

М-режим

Поскольку А-модальный режим не являлся диагностически важным, первым этапом развития современной эхокардиографии можно смело считать появление М-режима. М-режим (от англ. *motion* – движение) – первый режим, используемый в эхокардиографии. Это графическое изображение движения стенок сердца и створок клапанов вдоль одного луча, расставленное во времени (рис. 5).

Анатомический М-режим позволяет изменить направление курсора и получить график движения структур сердца в различных плоскостях (рис. 6).

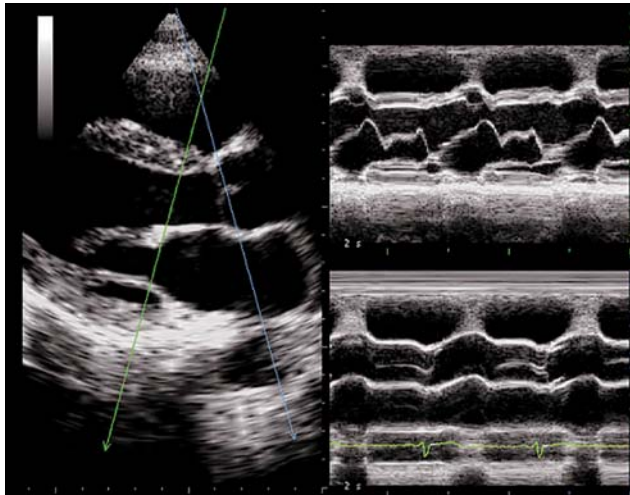


Рис. 6. Анатомический М-режим. Два курсора М-режима установлены одновременно перпендикулярно стенкам аорты и левого желудочка. Графики движения створок митрального клапана и корня аорты справа на экране.

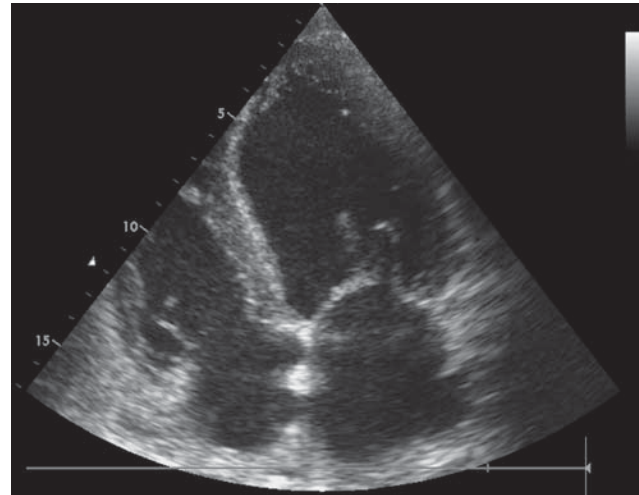


Рис. 7. В-режим. Апикальная четырехкамерная позиция.

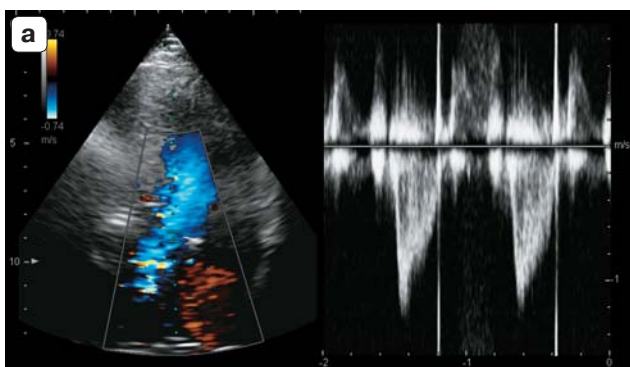
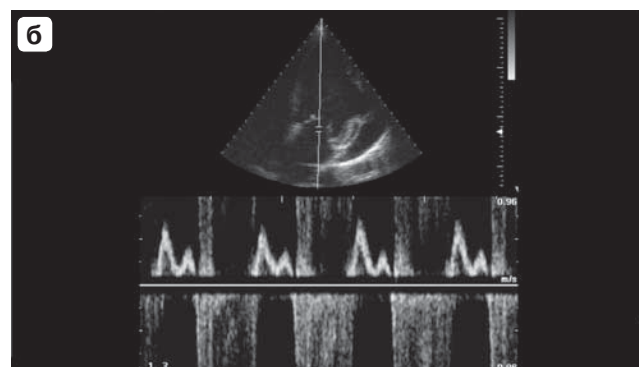


Рис. 8. Импульсноволновой допплер. **а** – поток в выносящем тракте левого желудочка; **б** – поток митральной регургитации. Перехлест потока через базовую линию.



Двухмерная эхокардиография, или В-режим

Двухмерная эхокардиография, или В-режим (от анг. *brightness* – яркость), – изображение сердца по длинной или короткой оси в реальном времени. Позволяет оценить размеры полостей сердца, толщину стенок желудочков, состояние клапанного аппарата, подклапанных структур, глобальную и локальную сократимость желудочков, наличие тромбоза полостей и т.д. (рис. 7).

В 70-е годы двадцатого столетия был накоплен богатый опыт исследования сердца в реальном времени, разработаны первые нормативы.

Допплерэхокардиография

Допплерэхокардиография – метод, позволяющий неинвазивно оценить параметры центральной гемодинамики. Активное применение методики в медицине можно отнести к началу 80-х годов XX века.

Импульсноволновой допплер (Pulsed Wave – PW)

Графическая развертка импульсноволнового допплера отражает характер кровотока в конкретной точке – в месте установки контрольного объема (рис. 8, а).

Импульсноволновой допплер имеет скоростной предел регистрации кровотока, или предел Найквиста (не более 2,5 м/с), поэтому с его помощью нельзя зарегистрировать потоки, имеющие высокую скорость (рис. 8, б).

Режим высокой частоты повторения импульсов (HPRF – High Pulse Repetition Frequency)

Данный режим был разработан для регистрации высокоскоростных потоков. Несколько контрольных объемов располагаются один за другим на различной глубине (рис. 9). Это позволяет регистрировать кровоток, скорость которого превышает 2,5 м/с.

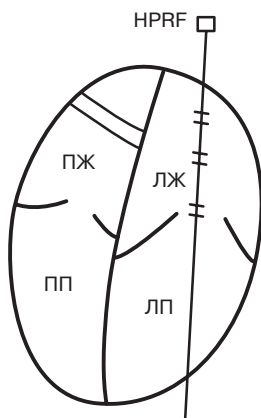


Рис. 9. Режим высокой частоты повторения импульсов (HPRF).

Изначально предел регистраций возрос до 3,5 м/с. В настоящее время используется редко, так как существует непрерывноволновой допплер.

Непрерывноволновой допплер (Continuous Wave – CW)

Невозможность оценить высокоскоростной кровоток при помощи импульсноволнового допплера способствовала созданию непрерывноволнового допплера. Этот этап развития эхокардиографии позволил методу занять одну из ведущих позиций в кардиологической практике.

Данный вариант допплера позволяет регистрировать высокоскоростные потоки теоретически до 12 м/с, хотя такая скорость кровотока у человека не реальна (рис. 10).

Недостаток метода состоит в том, что на графике регистрируются все потоки по ходу луча. Методика непрерывноволнового допплеровского исследования позволяет произвести расчеты давления в полостях сердца и магистральных сосудах в ту или иную фазу сердечного цикла, оценить степень значимости стеноза и т.д.

Большой вклад в создание нормативов оценки степени клапанных пороков сердца и гемодинамики малого круга кровообращения внесла Лив Хатл (Liv Hatle).

Цветовой допплер (Color Doppler)

Быстрая качественная и количественная оценка кровотока с помощью этого метода привела к тому, что в настоящее время все эхокардиографы оснащены данным вариантом допплера.

Цветовой допплер – аналог импульсноволнового допплера, где направление и скорость кровотока картируются разным цветом. Так, кровоток к датчику принято картировать красным цветом, от датчика – синим. Туристический кровоток картируется сине-зелено-желтым цветом (рис. 11).

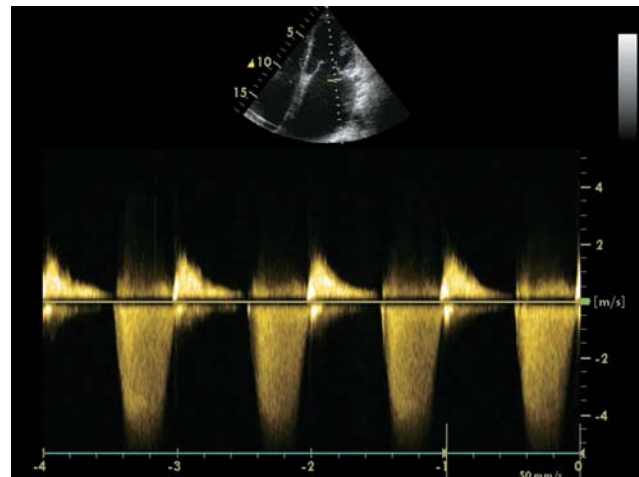


Рис. 10. Непрерывноволновой допплер. Поток значительной митральной регургитации.



Рис. 11. Цветовой допплер. Значительная митральная регургитация.

Цветовой M-модальный допплер (Color M-mode)

Сопоставление M-модального режима и цветового допплера при проведении курсора через ту или иную плоскость позволяет разобраться с фазами сердечно-го цикла и патологическим кровотоком (рис. 12).

Энергетический допплер (Power Doppler)

Энергетический допплер применяется для регистрации низкоскоростного кровотока, поэтому в кардиологии он пока не находит широкого применения. При использовании энергетического допплера может теряться направление кровотока. В настоящее время энергетический допплер используют в сочетании с контрастными веществами (Левовист и др.) для изучения перфузии миокарда и без контрастов – для улучшения визуализации границы «эндокард–кровь» (рис. 13).

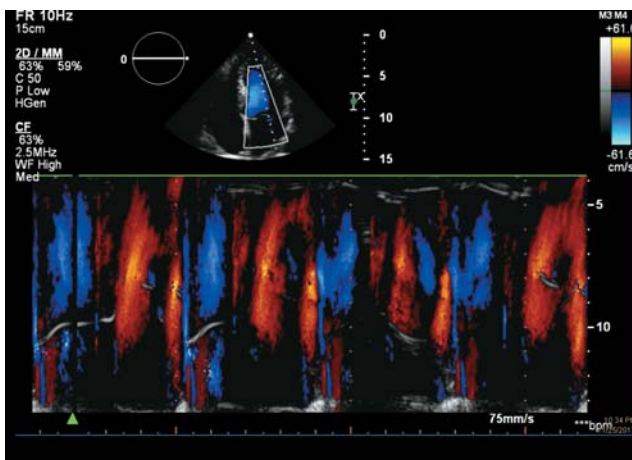


Рис. 12. Цветовой М-модальный допплер. Нормальный кровоток на митральном клапане.

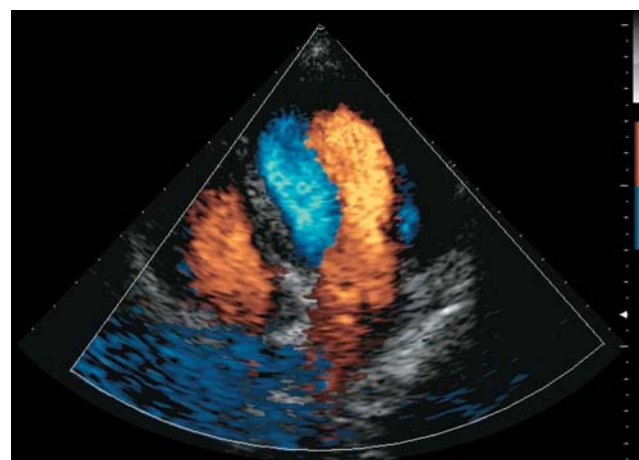


Рис. 13. Энергетический допплер. Четко визуализируется граница «эндокард–кровь».

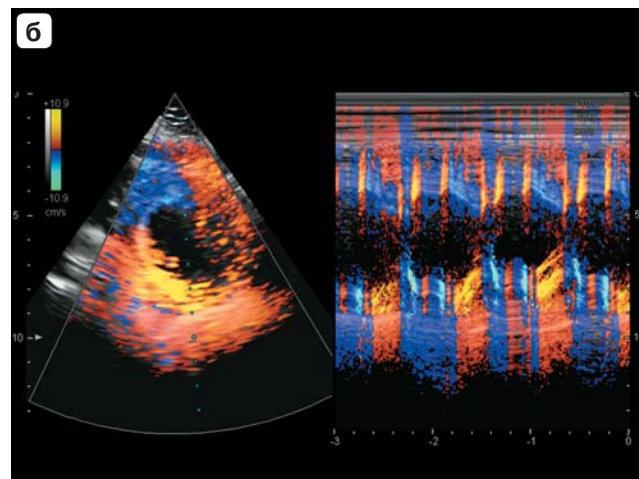
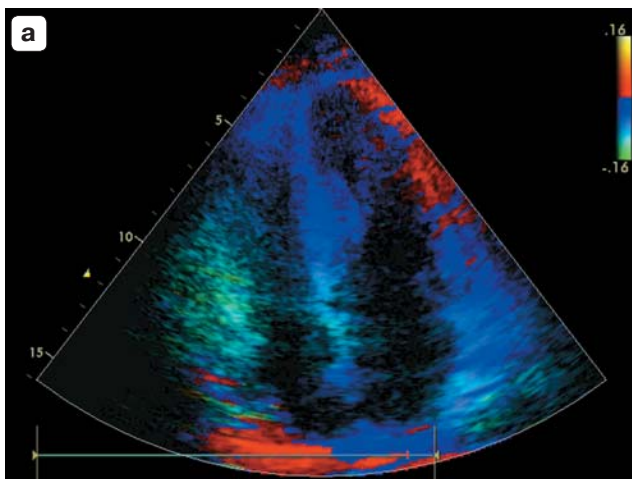


Рис. 14. Тканевой цветовой допплер. **а** – В-режим; **б** – М-режим.

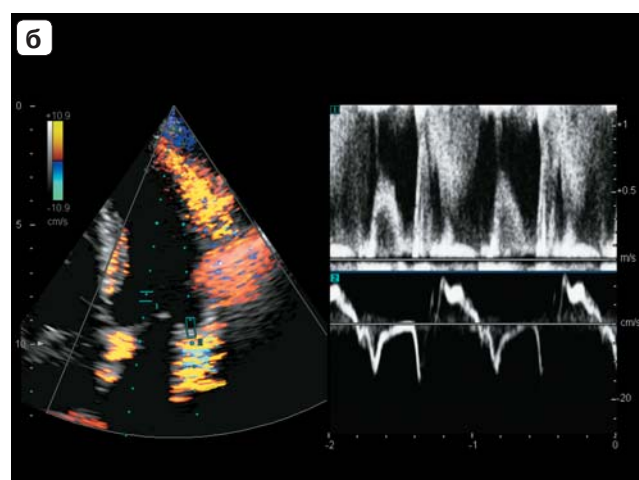
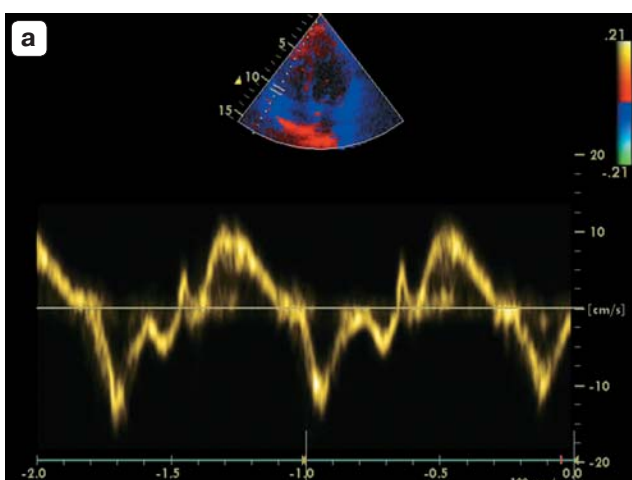


Рис. 15. **а** – тканевой импульсноволновой допплер; **б** – сочетание на экране импульсноволнового и тканевого импульсноволнового допплера позволяет более точно оценить нарушение диастолической функции желудочка.

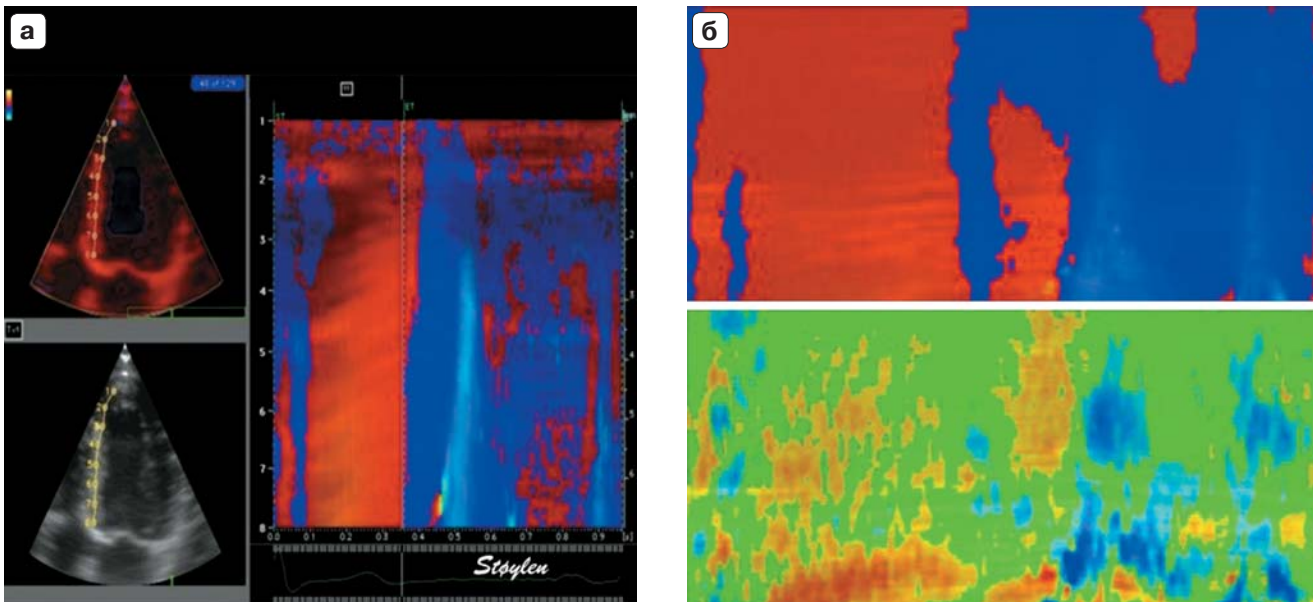


Рис. 16. а – тканевой нелинейный, или искривленный, допплер, или С-режим; б – тканевой нелинейный, или искривленный, допплер, или С-режим, и стрейн-режим.

Тканевой цветовой допплер (Tissue Color Doppler)

Принцип данного метода основан на картировании направления движения тканей определенным цветом. Таким образом, красным цветом обозначают движение к датчику, синим – от датчика. Если скорость движения ткани существенно отличается в каком-то участке, то этот участок кодируетсяся «турбулентным» желтым или зеленым цветом. Изучая направления движения стенок левого и правого желудочков в систолу и диастолу, с помощью тканевого цветового допплера можно обнаружить или уточнить наличие зоны нарушения локальной сократимости. Совмещение двухмерного исследования в режиме тканевого цветового допплера с М-модальным увеличивает точность диагностики (рис. 14).

Тканевой импульсноволновой допплер (Pulsed Wave Tissue Doppler Imaging)

Позволяет оценить графически характер движения стенки желудочков в конкретной точке. Выделяют систолический компонент, ранний и поздний диастолический компоненты. Данный вариант допплера позволяет проводить картирование миокарда и увеличивает точность диагностики у больных ишемической болезнью сердца. Сочетание на экране импульсноволнового и тканевого импульсноволнового допплера позволяет более точно оценить нарушение диастолической функции желудочка (рис. 15).

Тканевой нелинейный, или искривленный, допплер, или С-режим (C-mode)

Это графический режим. Представляет собой цветовой график движения межжелудочковой перегородки, верхушки и боковой стенки левого или правого желудочка, растянутый во времени (рис. 16).

Тканевой след (Tissue Tracking)

Кодирование различными цветами скорости систолического смещения волокон миокарда (от 12 мм/с до 0). В норме картина напоминает радугу. При нарушении систолической функции желудочков картина меняется (рис. 17).

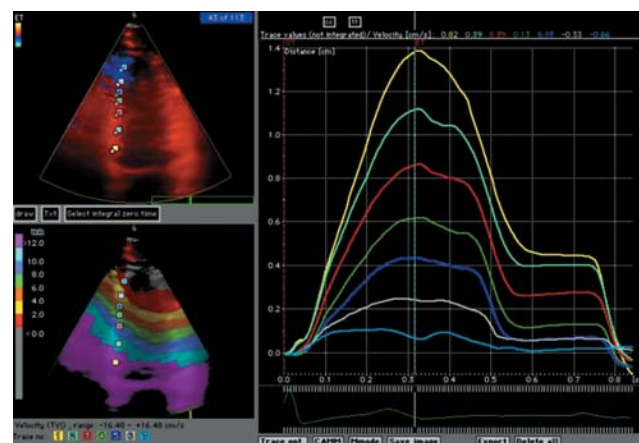


Рис. 17. Тканевой след (Tissue Tracking), или кодирование различными цветами скорости систолического смещения волокон миокарда (от 12 мм/с до 0).

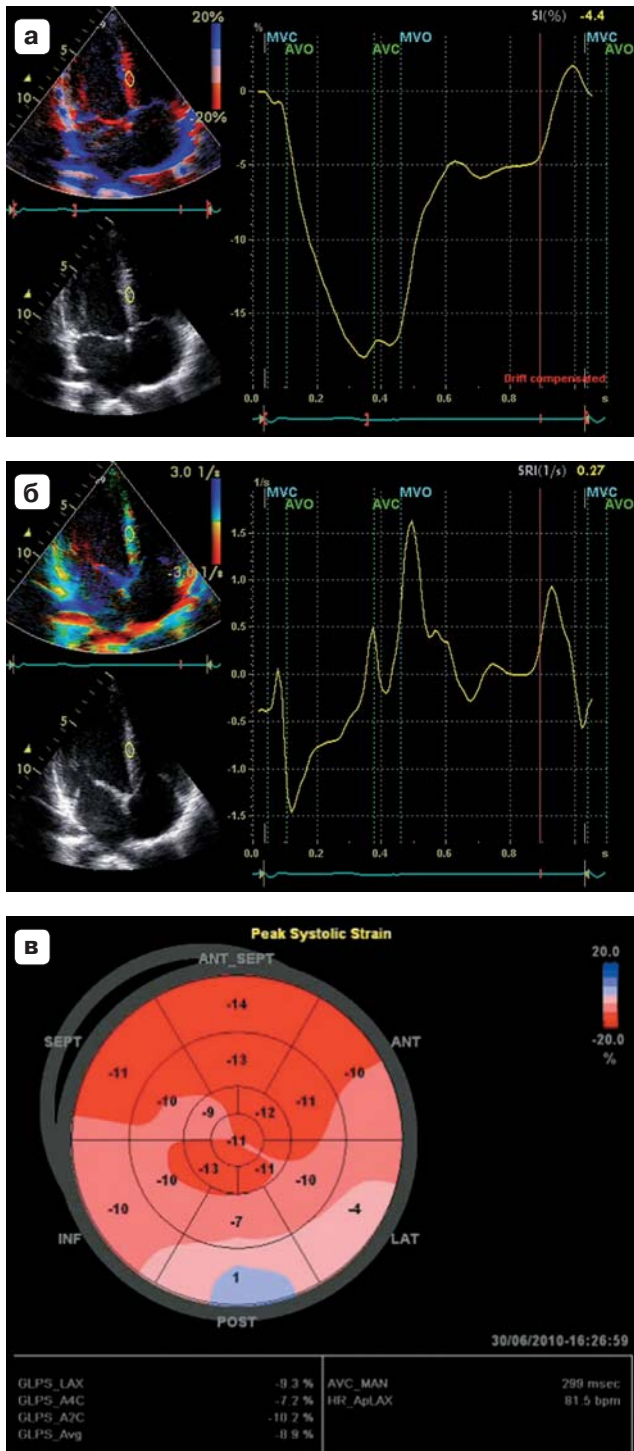


Рис. 18. а – кривая Strain в норме; б – кривая Strain rate в норме; в – количественная оценка локальной сократимости миокарда по сегментам в результате оценки деформации миокарда.

Допплер оценки деформации и скорости деформации (Strain, Strain rate)

Strain – один из вариантов допплера, позволяющий количественно оценить деформацию волокон миокарда по отношению к начальной форме, т.е. оценить в процентах изменение длины относительно исходной величины.

Strain rate отражает скорость деформации миокарда и позволяет рассчитать градиент между двумя скоростями смещения точек миокарда. Помимо этого, можно количественно оценить локальную сократимость миокарда по сегментам (рис. 18).

Векторное скоростное изображение, или векторный анализ скорости движения эндокарда (Vector Velocity Imaging)

Данный вариант исследования позволяет проследить за направлением и степенью сокращения и расслабления волокон эндокарда в различных точках (рис. 19). Данный режим широко используется у больных ишемической болезнью сердца.

Чреспищеводная эхокардиография

Чреспищеводная эхокардиография – исследование сердца через пищевод с использованием специальных датчиков (моно-, би- и мультиплановых). Информативность метода очень высокая (рис. 20). Противопоказанием служит наличие структуры пищевода.

Стресс-эхокардиография

Стресс-эхокардиография проводится с использованием физической нагрузки (чреспищеводной электростимуляции или медикаментозной нагрузки). Широко применяется у больных ишемической болезнью сердца. Позволяет оценить возможности миокарда и выявить скрытые зоны нарушения локальной сократимости. В настоящее время стресс-эхокардиографию проводят также с использованием трехмерного исследования и с автоматическим анализом показателей систолической функции левого желудочка и деформации левого желудочка (рис. 21).

Трехмерная эхокардиография и четырехмерная реконструкция сердца (3D- и 4D-эхокардиография)

Трех- и четырехмерное моделирование сердца – анализ изображения и построение объемного изображения камер сердца, створок клапанов, кровотока и т.д., а также получение изображения сердца в объеме в реальном времени и анализ гемодинамики (рис. 22). По прогнозу ряда ведущих специалистов мира за данным направлением – будущее ультразвука.

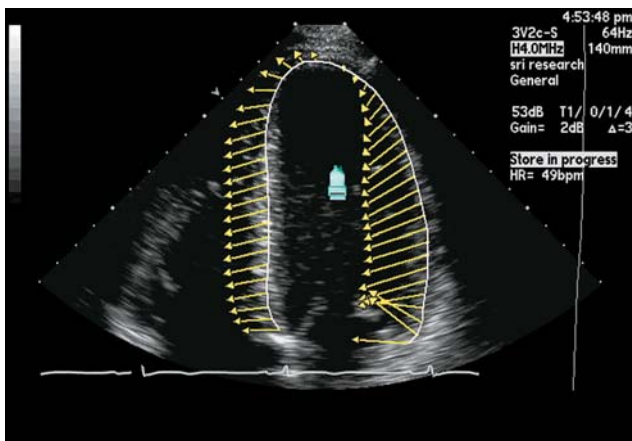


Рис. 19. Векторное скоростное изображение, или векторный анализ скорости движения эндокарда (Vector Velocity Imaging).

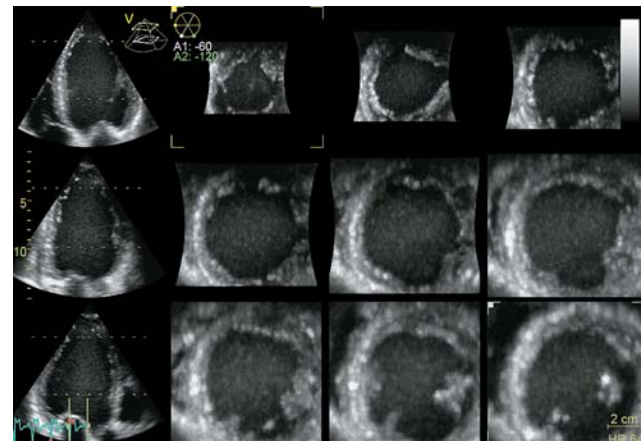


Рис. 21. Стress-эхокардиография позволяет оценить возможности миокарда и выявить скрытые зоны нарушения локальной сократимости.

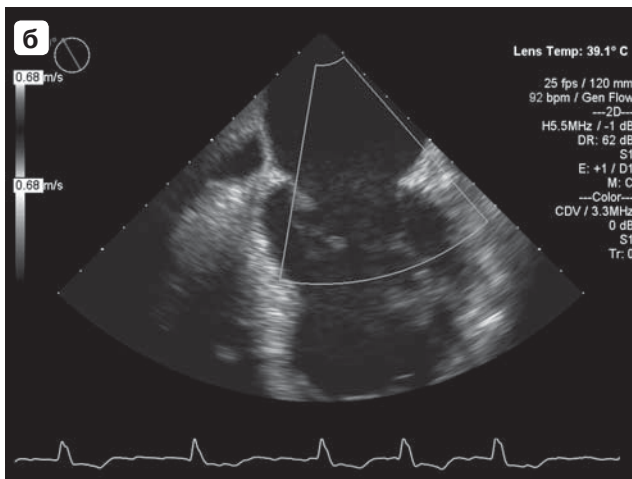


Рис. 20. а – датчик для проведения чреспищеводной эхокардиографии; б – чреспищеводное эхокардиографическое исследование.

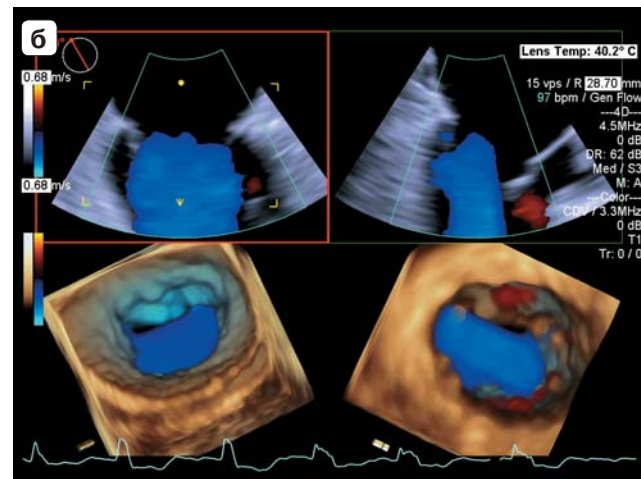
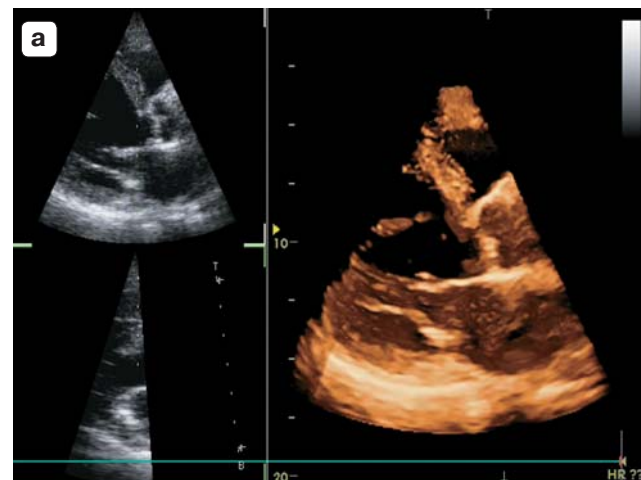


Рис. 22. а – трехмерная эхокардиография при аортальном стенозе; б – четырехмерная эхокардиография в оценке кровотока на митральном клапане.

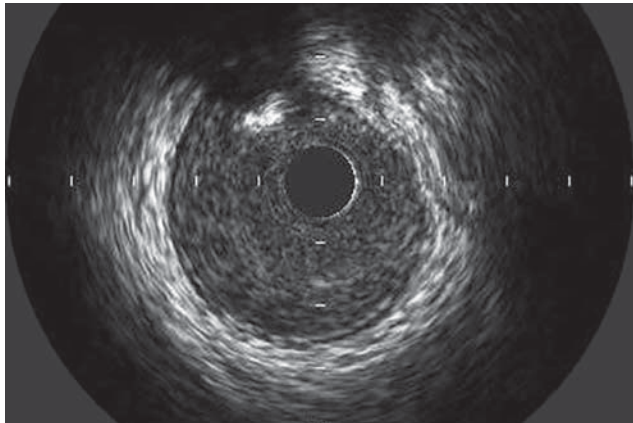


Рис. 23. Внутрисосудистый ультразвук.



Рис. 24. Специализированный датчик для проведения внутрисердечной эхокардиографии. Используется параллельно с кардиохирургическим вмешательством и позволяет мониторировать результаты операции.

Внутрисосудистый ультразвук

Внутрисосудистый ультразвук – исследование коронарных артерий с использованием специального внутрисосудистого датчика малого диаметра. Инвазивный ультразвуковой метод. Используется параллельно с коронарографией (рис. 23).

Внутрисердечный ультразвук

Внутрисердечный ультразвук – исследование сердца из внутрисердечного доступа (из правых камер сердца).

Исследование проводится с помощью специальных внутрисердечных датчиков. Данный метод исследования является инвазивным и требует пункции подключичной вены, используется в кардиохирургии (рис. 24).

Контрастная эхокардиография

Применяется для контрастирования правых камер сердца при подозрении на дефект межпредсердной перегородки или левых камер сердца для исследования перфузии миокарда. Информативность метода контрастирования левых камер сердца сопоставима со сцинтиграфией миокарда. Положи-

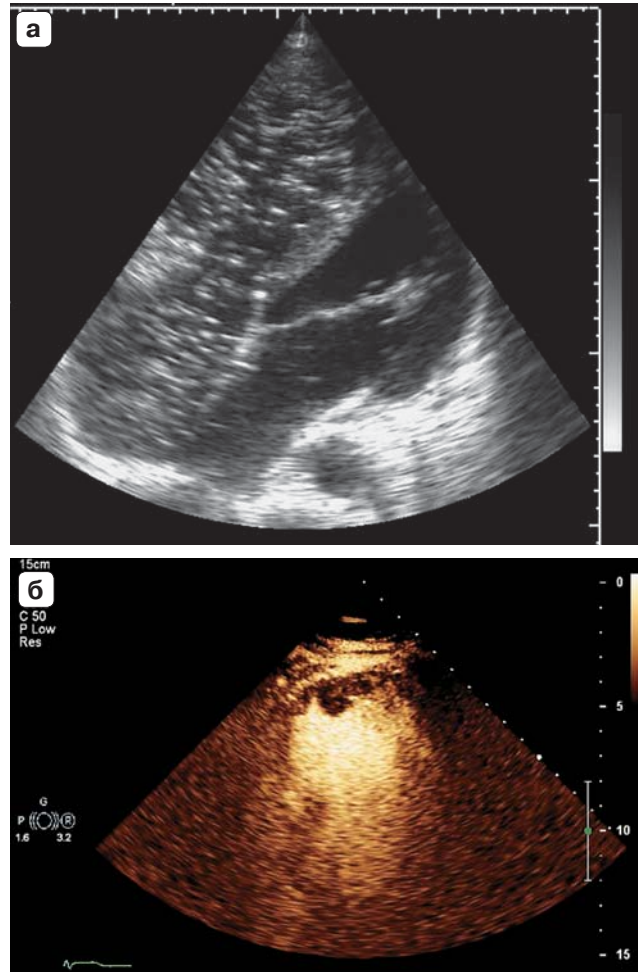


Рис. 25. Контрастная эхокардиография. Апикальная четырехкамерная позиция. **а** – тугое контрастирование правых камер сердца. Проникновение единичных пузырьков контрастного препарата в левые камеры свидетельствует о наличии дефекта межпредсердной перегородки; **б** – тугое заполнение контрастным препаратом Соновью левого желудочка. Тромб в полости верхушки.

тельный фактором является отсутствие лучевой нагрузки на больного, отрицательными – инвазивный характер метода и высокая стоимость препарата (Соновью и т.д.) (рис. 25).

Внутрисердечное кодирование турбулентных потоков

Современная технология оценки степени турбулентности и направления кровотока в камерах сердца. Метод наиболее информативен у больных с дилатацией камер сердца. Позволяет выявить свежие пристеночные тромбы и оценить риск формирования тромбоза благодаря цветовому кодированию вихревых потоков в полостях сердца и оценке их направления (рис. 26).

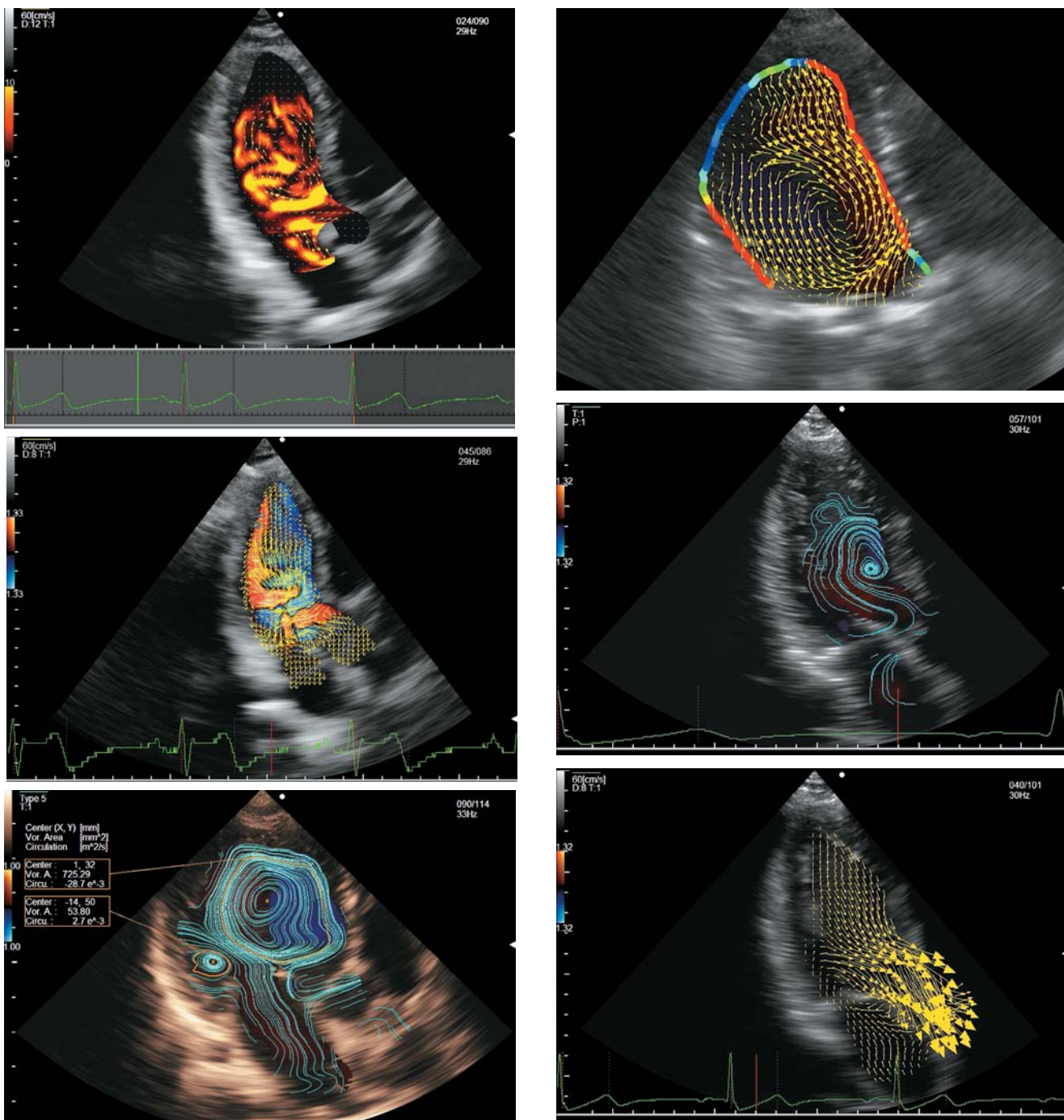


Рис. 26. Внутрисердечное кодирование турбулентных потоков. Различные варианты использования данной технологии.

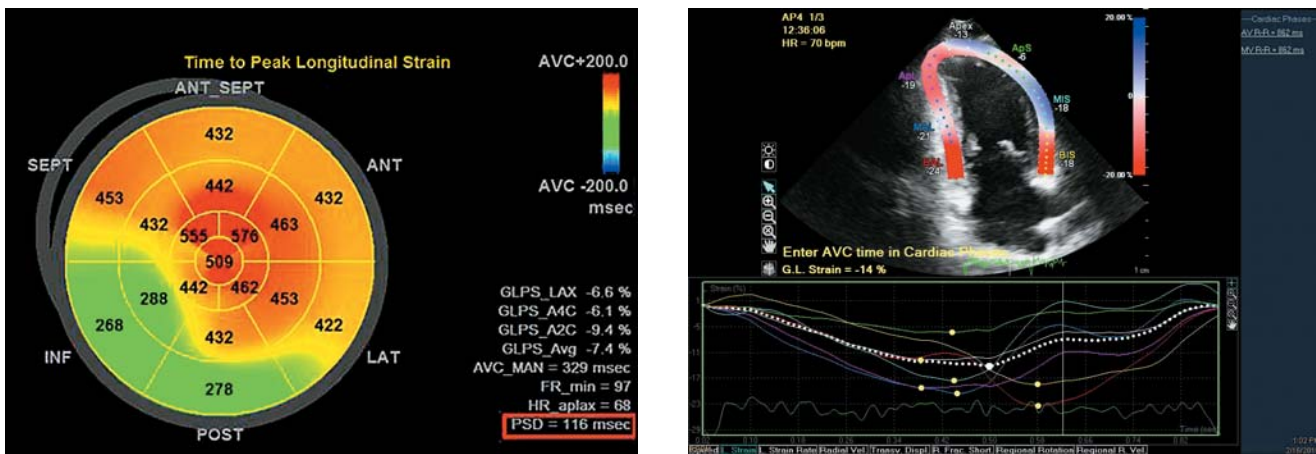


Рис. 27. Speckle-Tracking эхокардиография.

Speckle-Tracking эхокардиография

Относительно новая методика количественной оценки функции миокарда путем анализа движения спекл-шумов обычного В-режима. Она позволяет получить данные о недопплеровской, уголнезависимой и объективной количественной деформации миокарда, провести анализ систолической и диастолической функций левого желудочка (рис. 27).

СПИСОК РЕКОМЕНДУЕМОЙ ЛИТЕРАТУРЫ

Алексин М.Н. Тканевой допплер в клинической эхокардиографии. М.: Инсвязьиздат, 2005. 110 с.
Митьков В.В., Сандриков В.А. Клиническое руководство по ультразвуковой диагностике. М.: Видар, 1998; Т. 5. 360 с.
Рыбакова М.К., Алексин М.Н., Митьков В.В. Практическое руководство по ультразвуковой диагностике. Эхо-

кардиография. 2-е изд. М.: Издательский дом Видар-М, 2008. 537 с.

Шиллер Н.Б., Осипов М.А. Клиническая эхокардиография. 2-е изд. М.: Мир, 2005. 344 с.

Шотемор Ш.Ш. Путеводитель по диагностическим изображениям. М.: Советский спорт, 2001. 396 с.

Armstrong W. F., Ryan T., Feigenbaum H. Feigenbaum's Echocardiography. 7th ed. Philadelphia: Wolters Kluwer/ Lippincott Williams & Wilkins, 2010. 785 p.

Doppler Cristian Andreas – the man and his legacy. Eur. J. Echocardiogr. 2005; 6 (1): 7–10.

Feigenbaum H. Feigenbaum's Echocardiography. 6th ed. Philadelphia: Lippincott Williams&Wilkins, 2005. 790 p.

Hatle L., Angelsen B. Doppler Ultrasound in Cardiology. 2nd ed. Philadelphia: Lea and Febiger, 1982. 331 p.

Otto C. The practice of clinical echocardiography. Philadelphia: W.B. Saunders Company, 1997. 861 p.

Roelandt J. Doppler Cristian J. (1803–1853). Eur. Heart J. 2003; 24 (21): 1883.